

An abstract 3D visualization of light or photon interactions. It features a central grid-like structure composed of many small, rectangular blocks arranged in a regular pattern. The grid is illuminated from the side, creating a rainbow-like color gradient from red on the left to blue on the right. Several large, translucent, teardrop-shaped volumes are superimposed on the grid, appearing to interact with or pass through it. The background is dark, with some faint, glowing lines suggesting a complex, possibly crystalline or molecular, structure.

JUGANDO CON FOTONES

Dr. Ángel Pérez del Pino

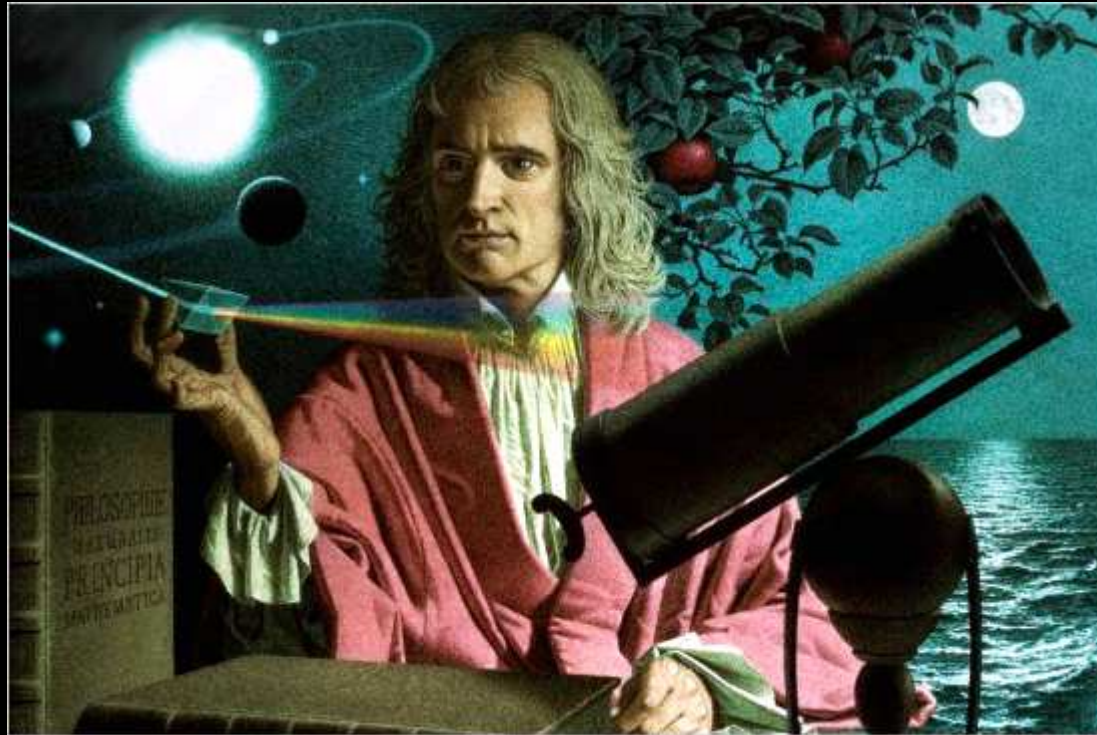
Grupo de Procesado Láser

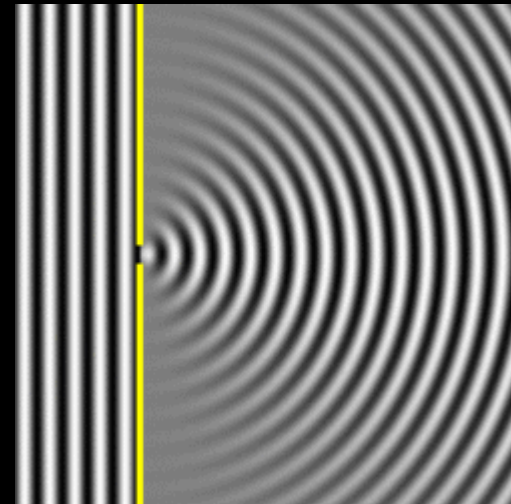
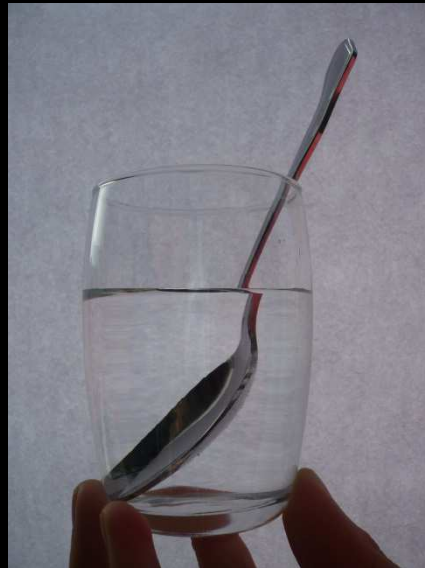
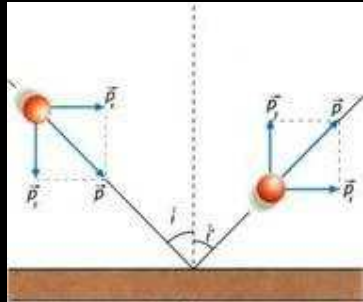
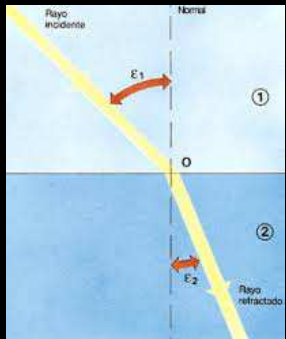
**Instituto de Ciencia de Materiales de
Barcelona, ICMAB - CSIC**

ÍNDICE

- **Naturaleza de la luz**
- **Interacción luz – materia**
- **Aplicaciones de la luz**
 - > Estudio de materiales
 - > Astronomía
 - > Electrónica
 - > Energía
 - > **LÁSER: funcionamiento y aplicaciones**

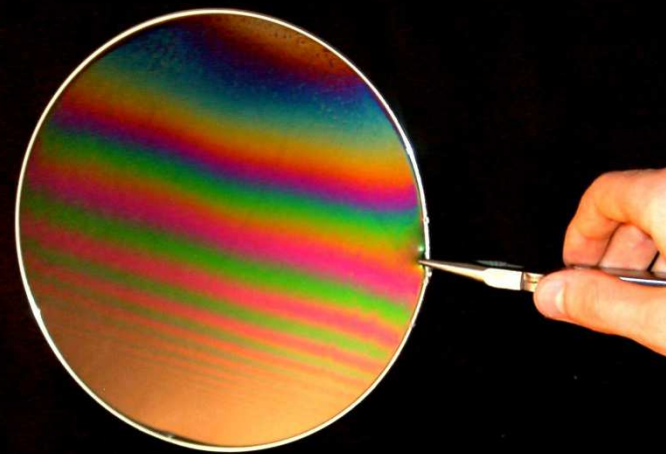
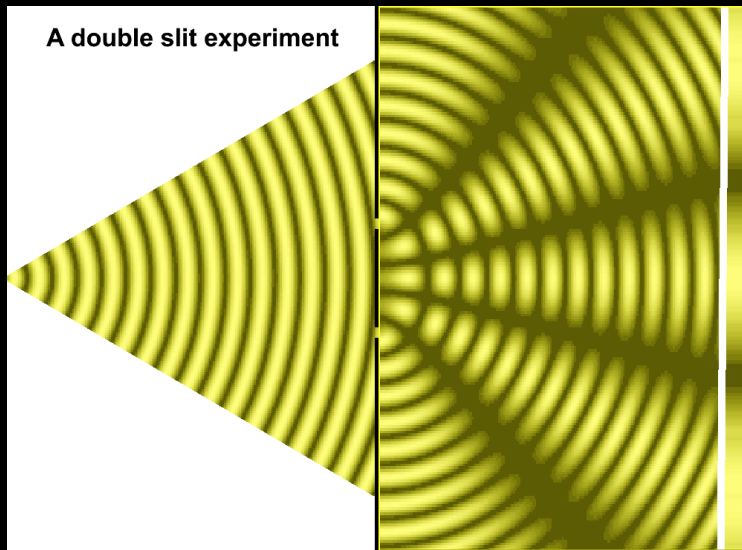
NATURALEZA DE LA LUZ





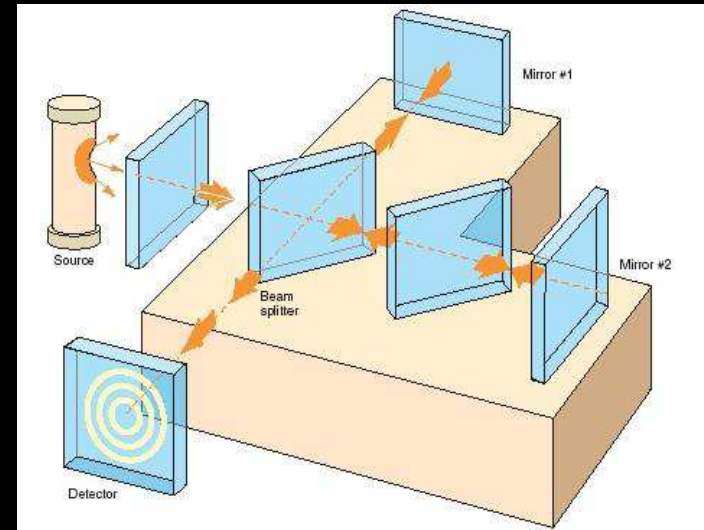
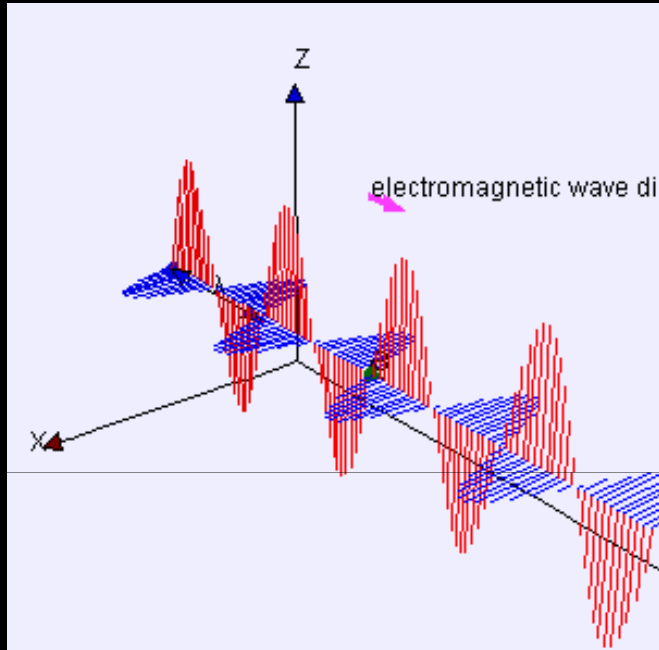
Refracción / Reflexión

Difracción



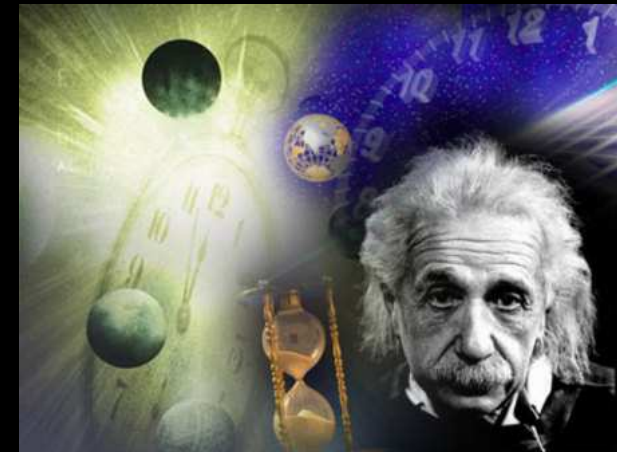
Interferencia

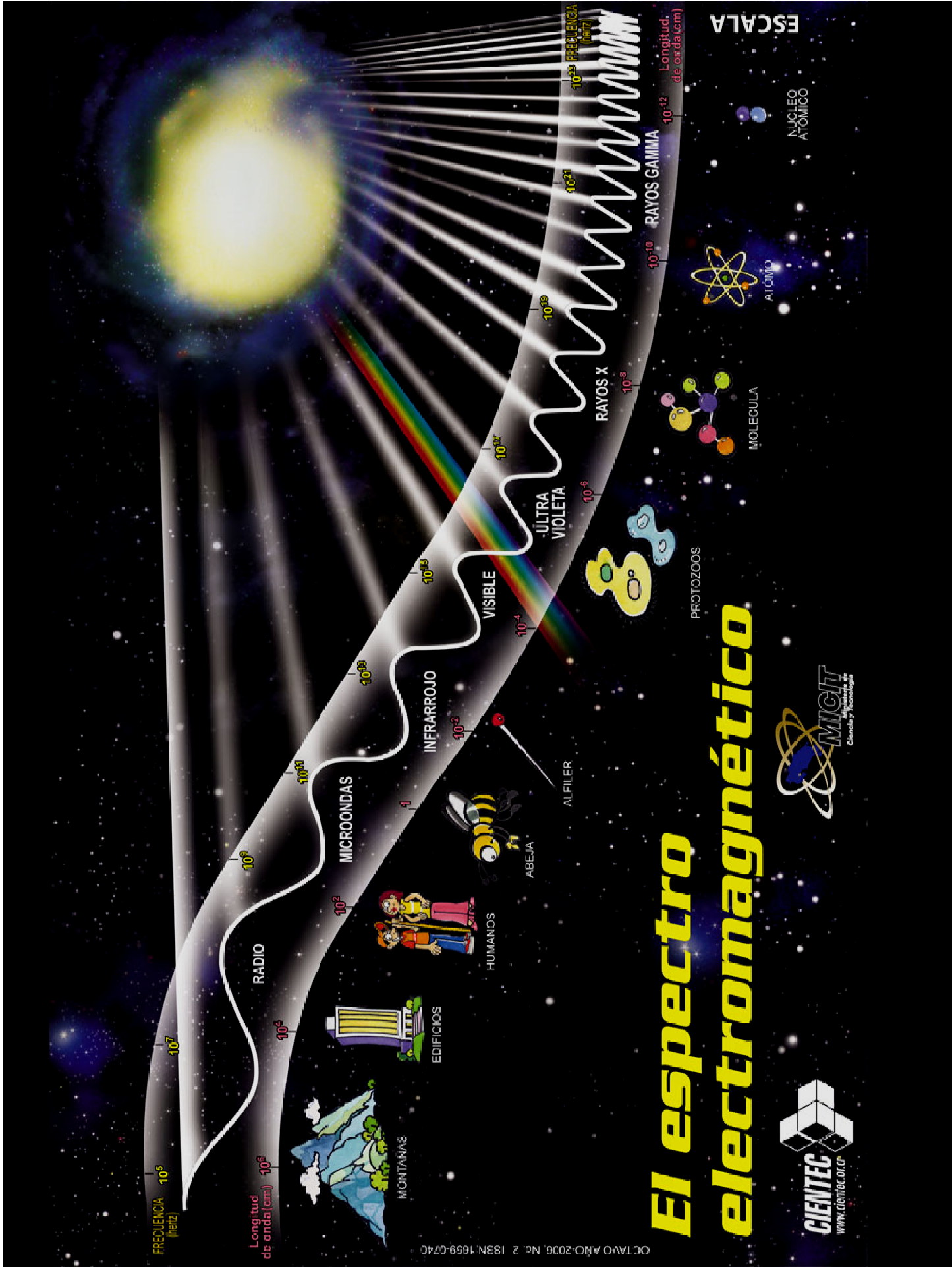
ONDA ELECTROMAGNÉTICA



Experimento de Michelson – Morley (1887)

- Velocidad:
 $c = 299.792.458 \text{ m/s}$
- Límite absoluto
- Relatividad Especial - Einstein



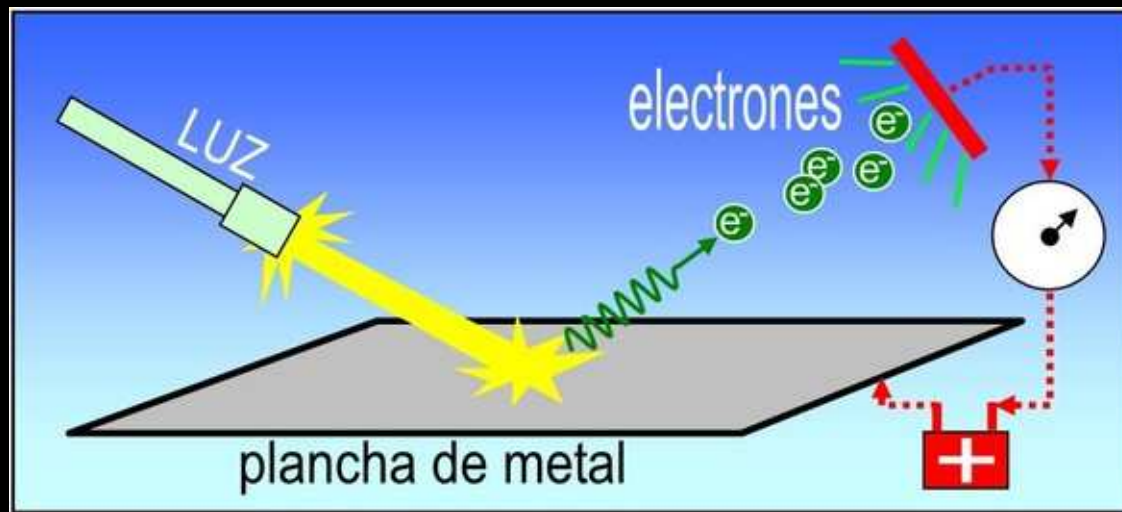
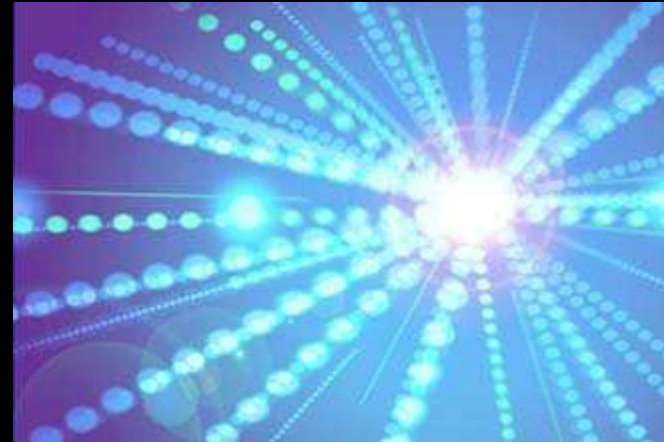
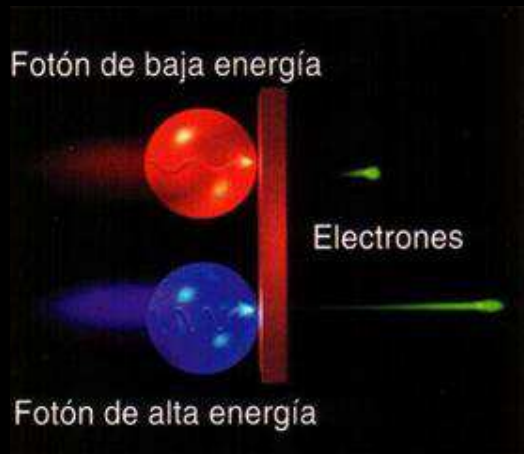


El espectro electromagnético



PARTÍCULA: FOTÓN

Einstein: cuantos de energía– Fotón

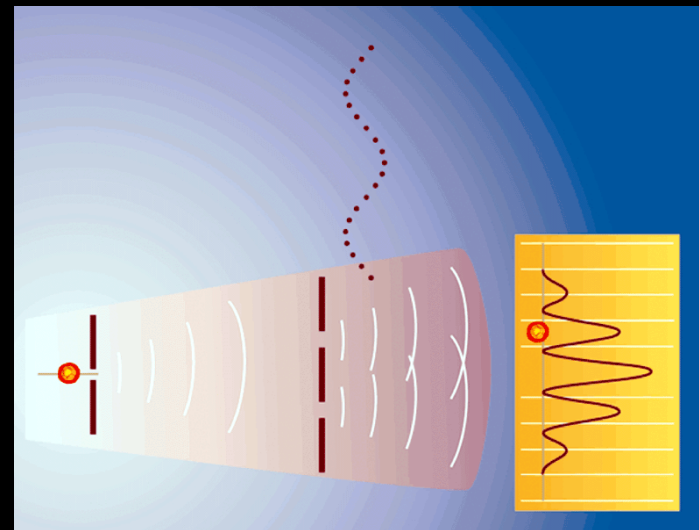
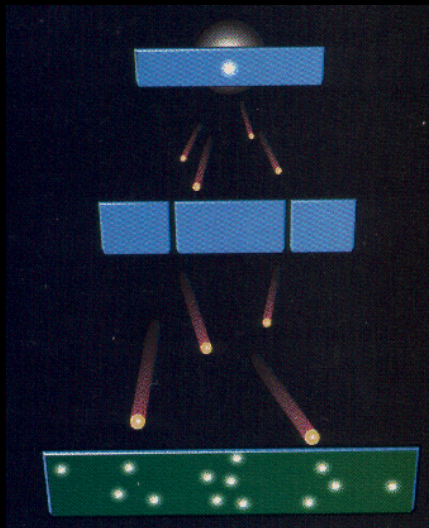
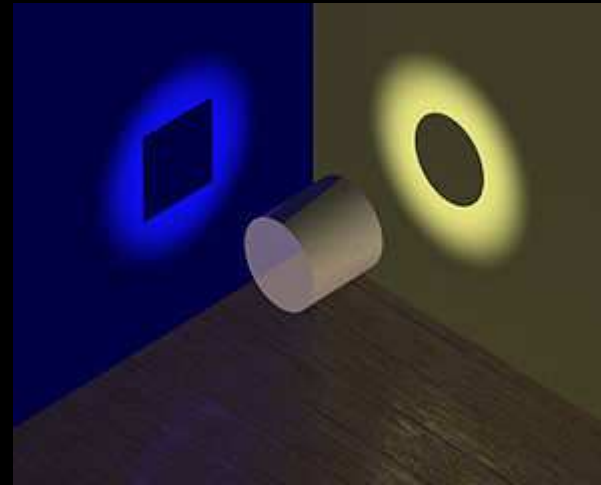
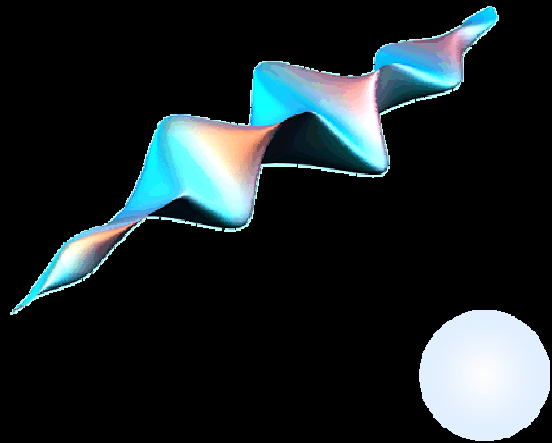


$$E_{\text{fotón}} = h\nu = hc / \lambda$$

$$h = 6,62 \times 10^{-34} \text{ J}\cdot\text{s}$$

Efecto fotoeléctrico (Hertz – 1887, Einstein – 1905)

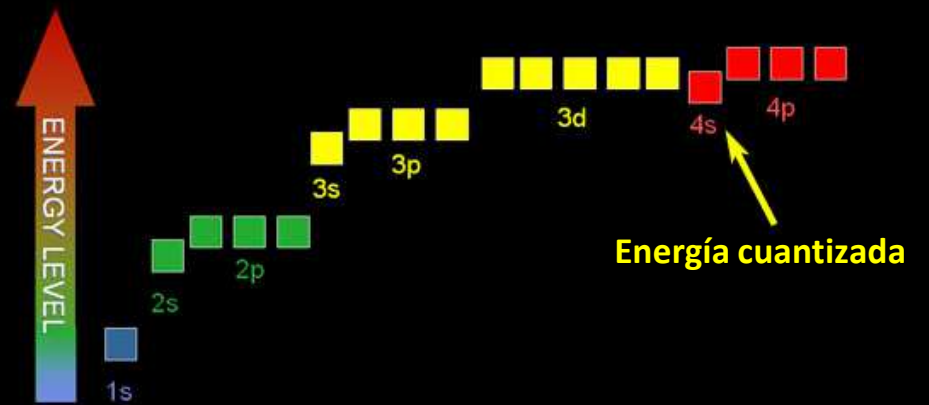
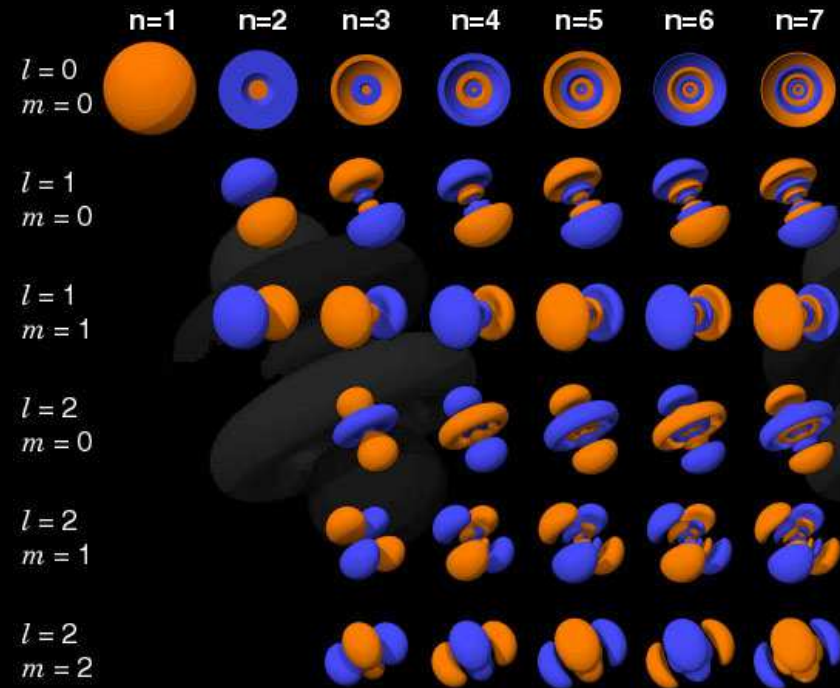
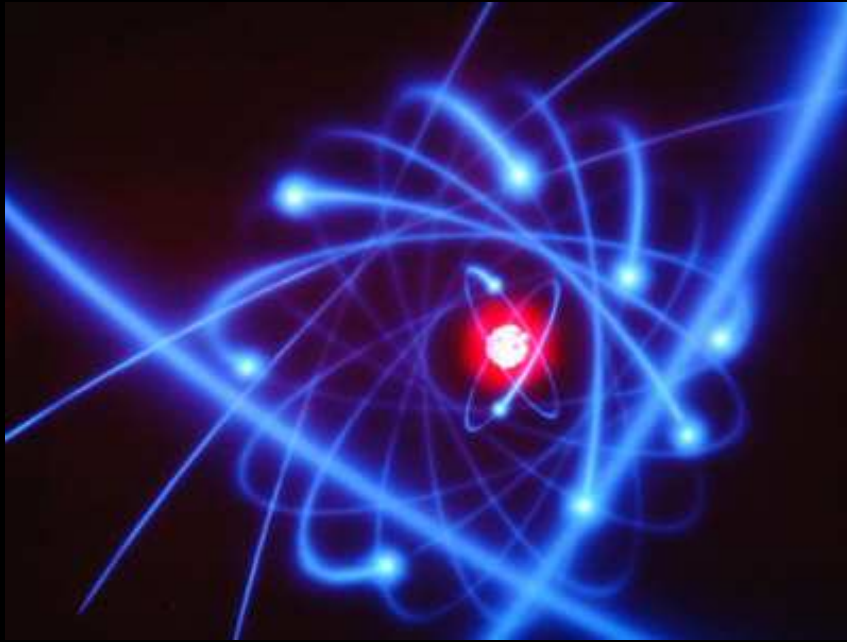
DUALIDAD ONDA-CORPÚSCULO: PROPIEDAD CUÁNTICA



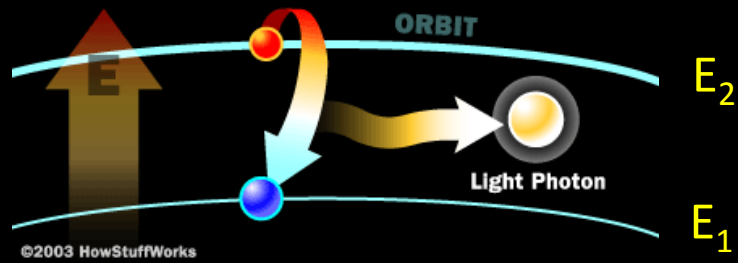
INTERACCIÓN LUZ - MATERIA



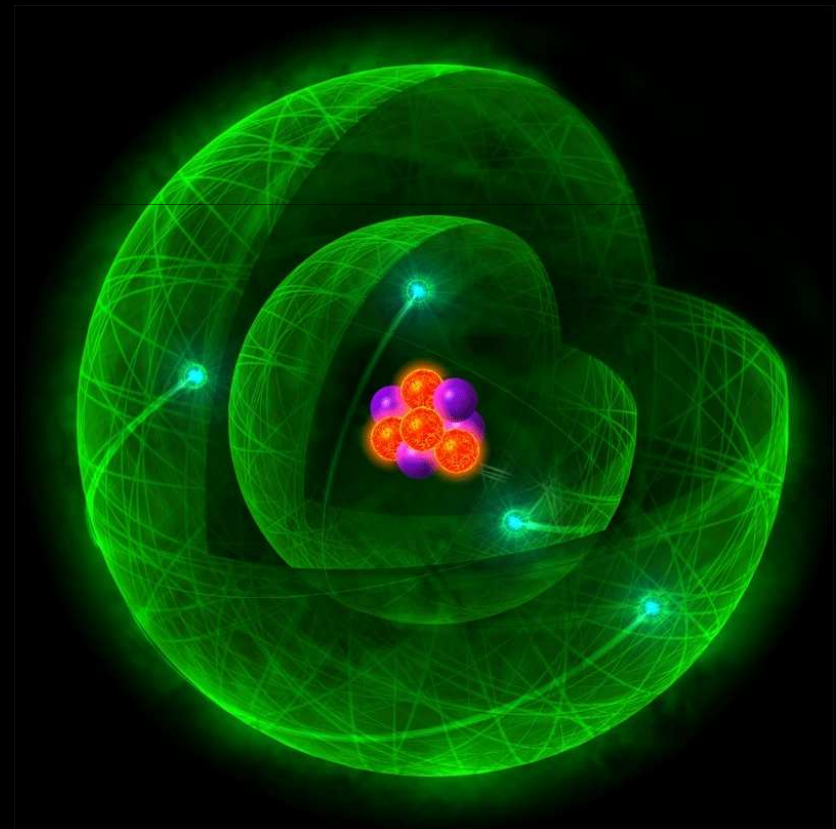
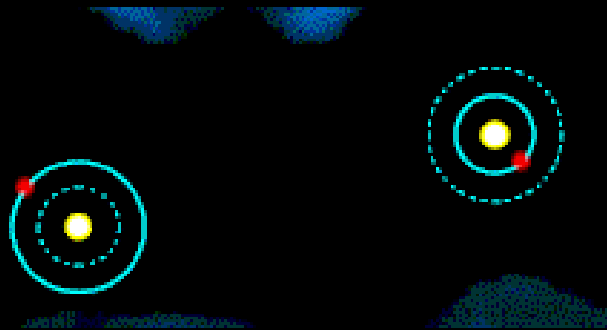
ÁTOMO



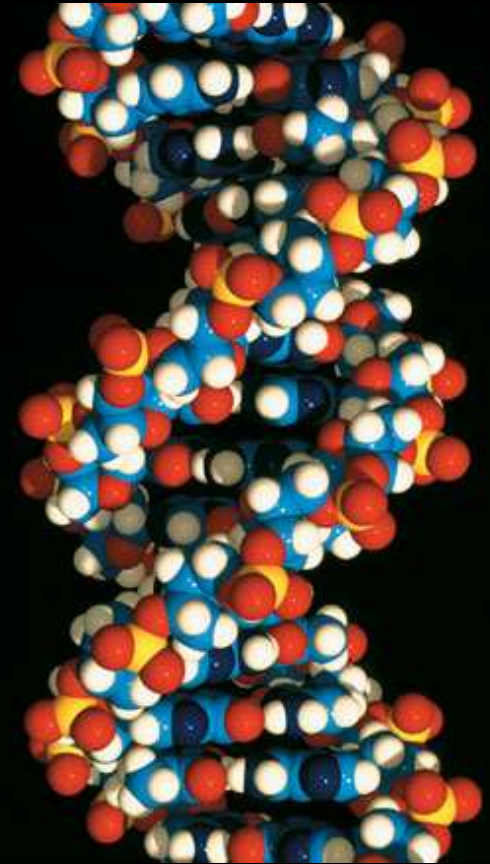
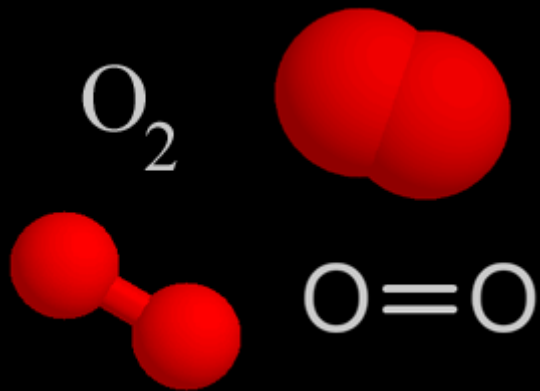
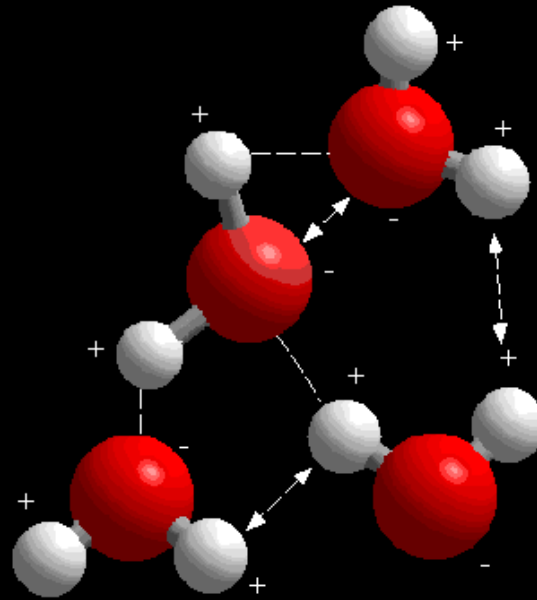
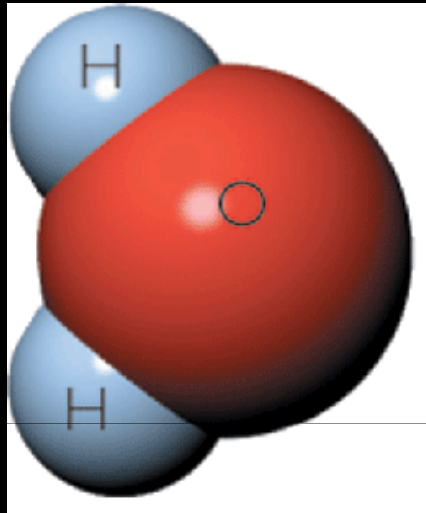
Emission of Light



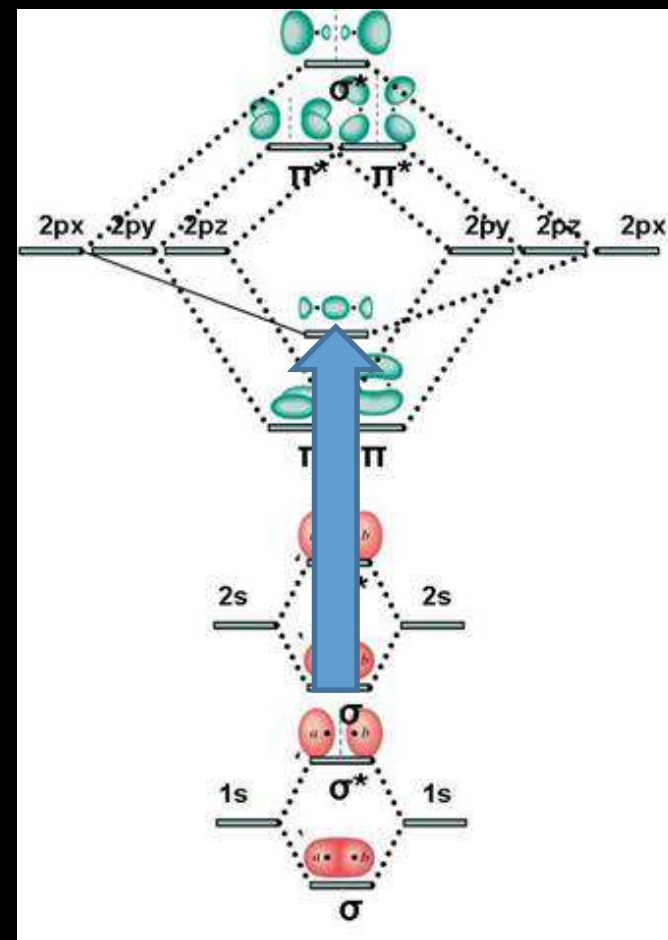
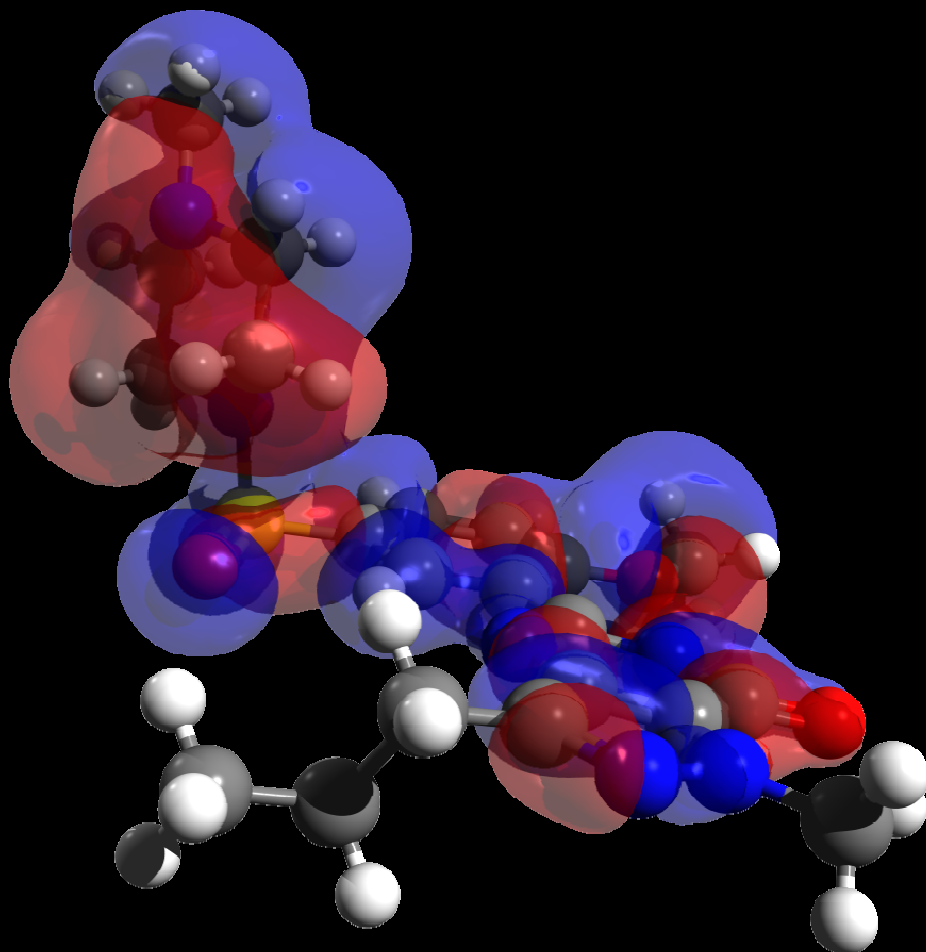
$$E_{\text{fotón}} = h\nu = E_2 - E_1$$



MOLÉCULA

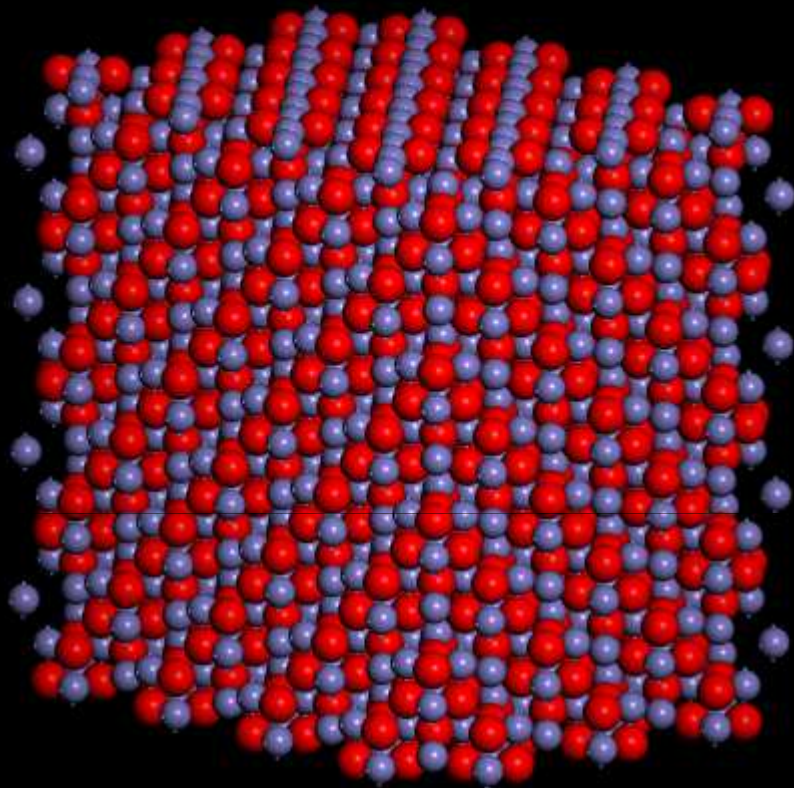


ORBITALES MOLECULARES

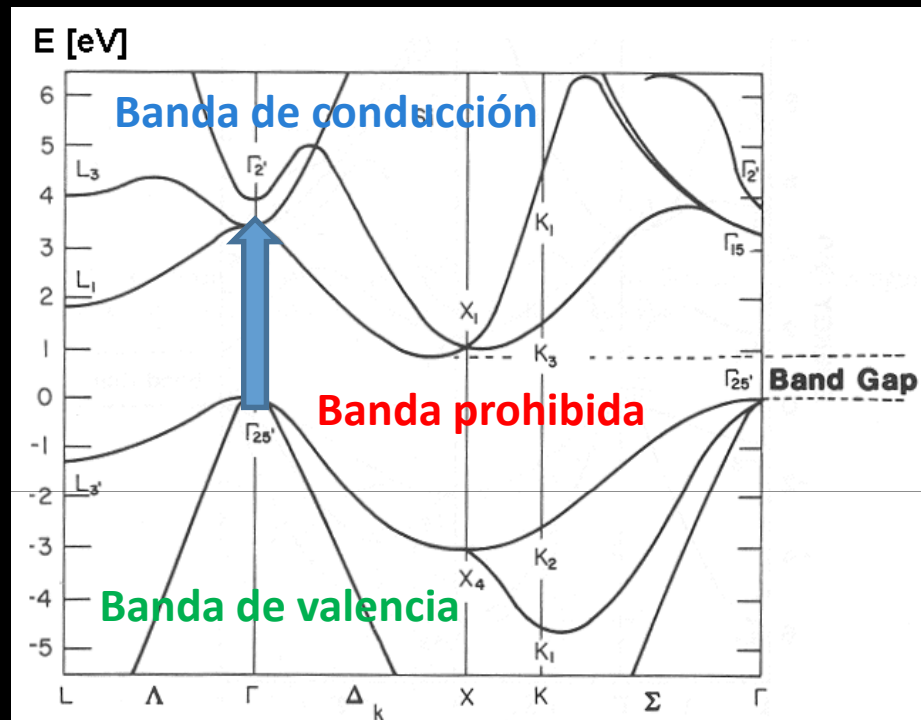


Estados energéticos

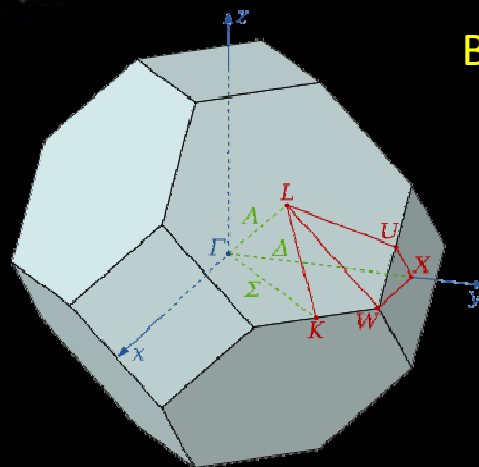
SÓLIDOS



80 Å



Bandas de energía





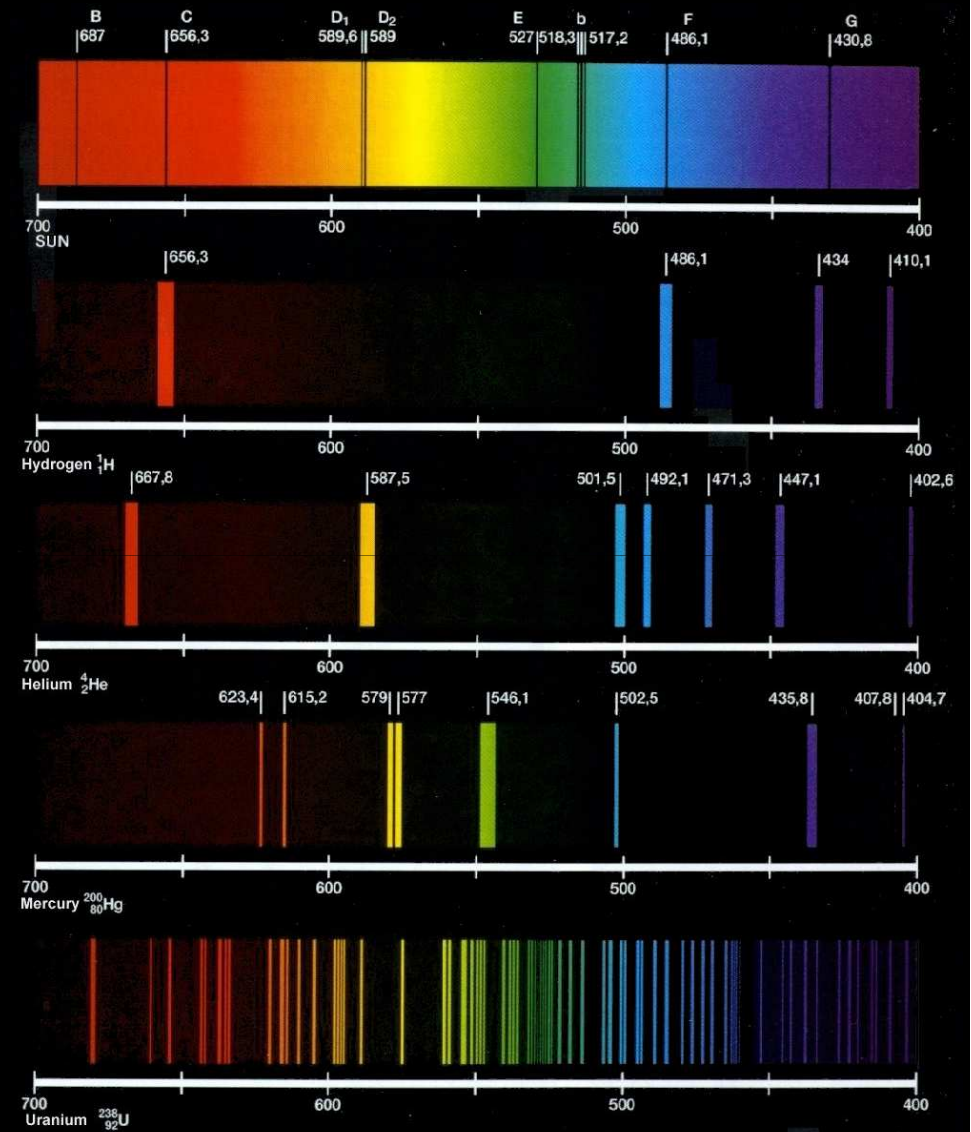
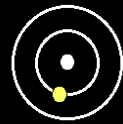
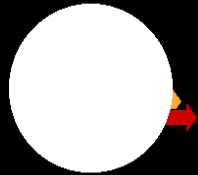
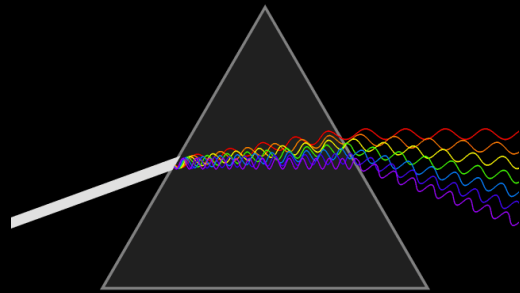
APLICACIONES DE LA LUZ



ESTUDIO DE MATERIALES

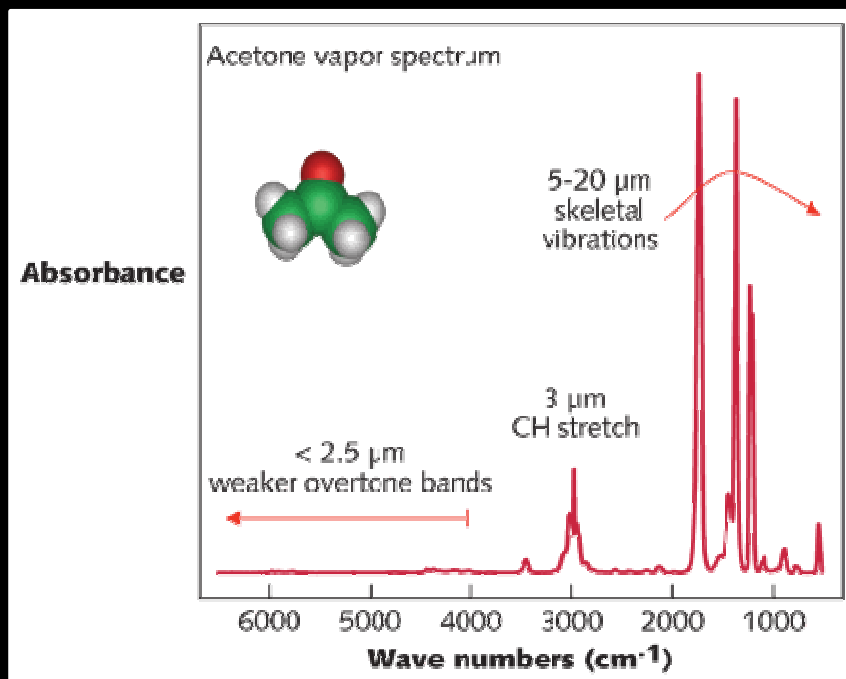
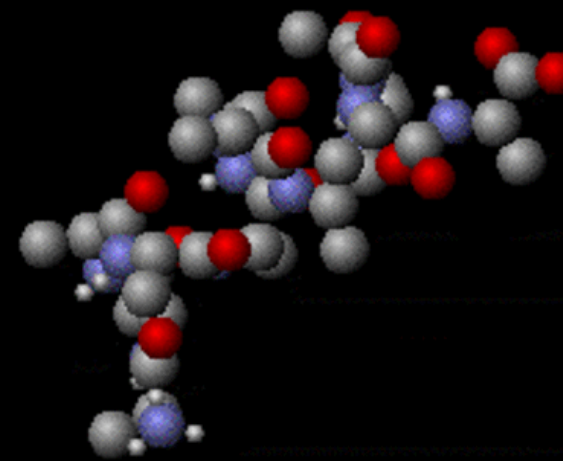
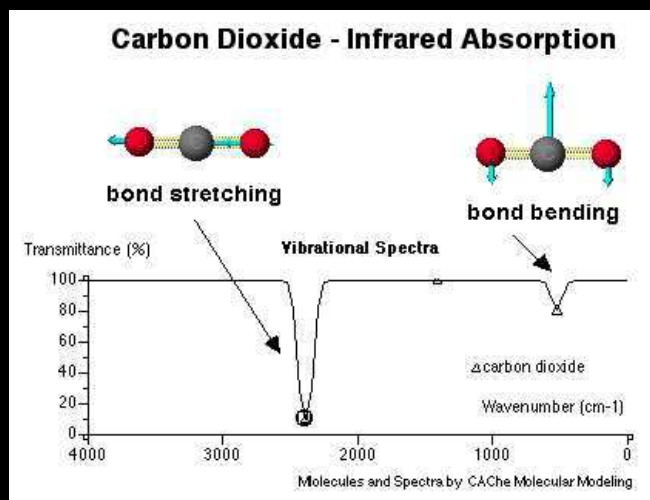
ESPECTROSCOPIAS

Espectroscopia atómica

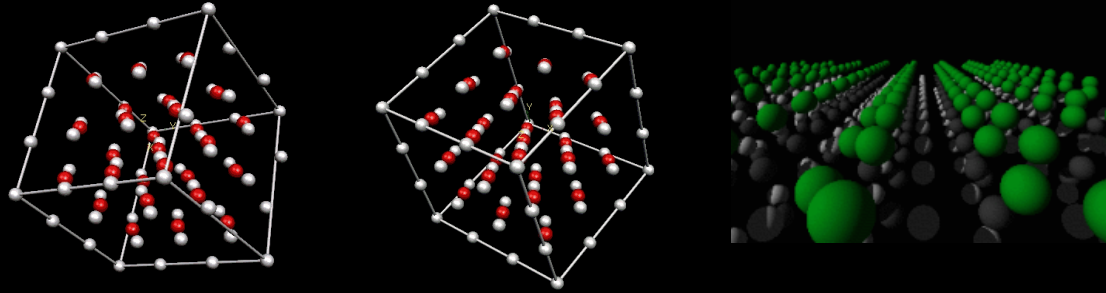


Espectro atómico

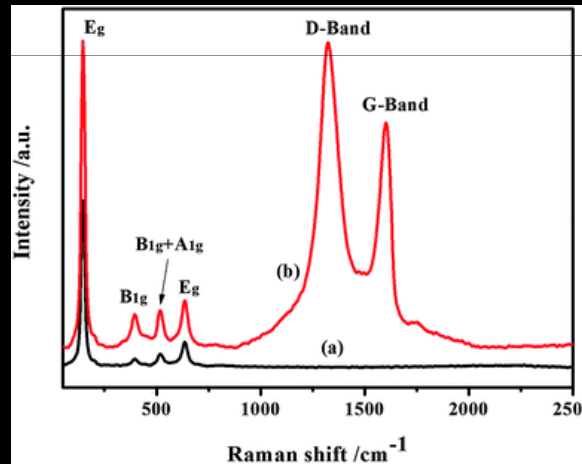
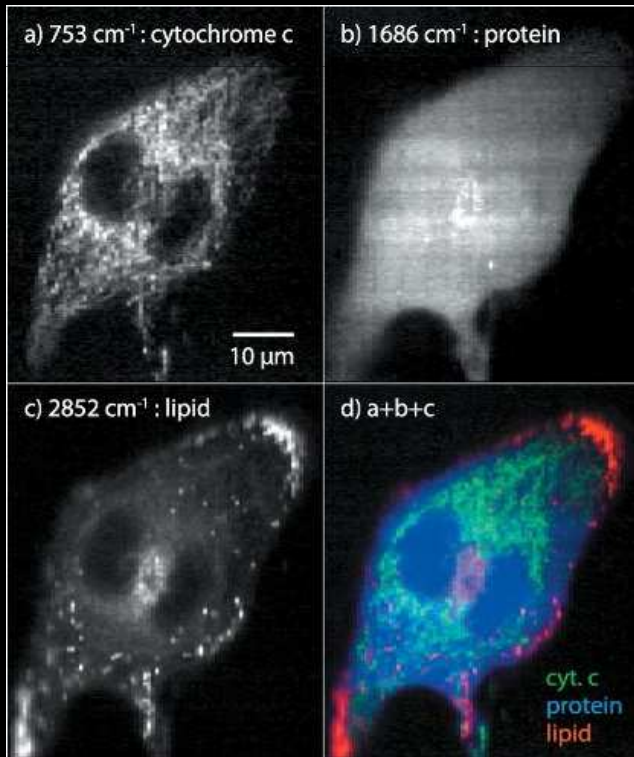
Espectroscopia molecular



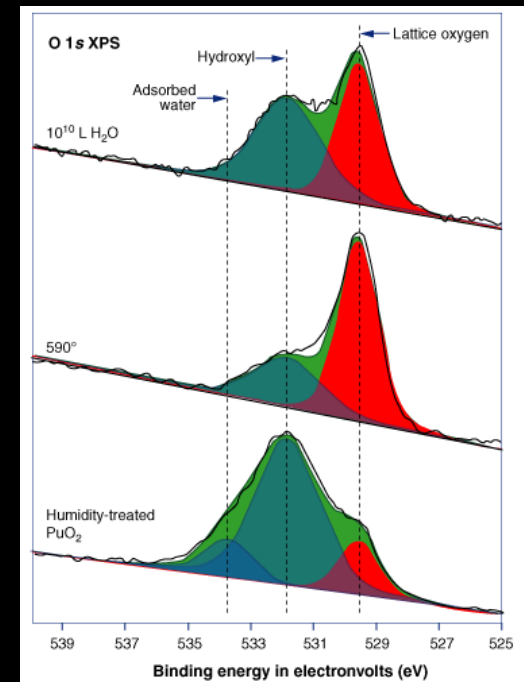
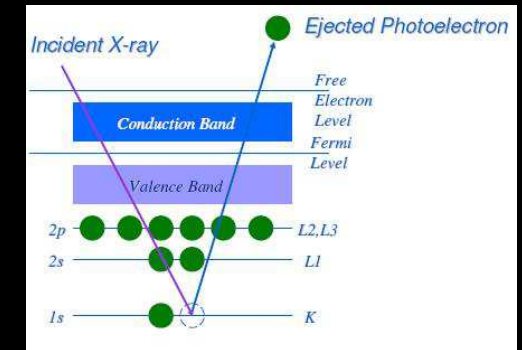
Espectroscopias en sólidos



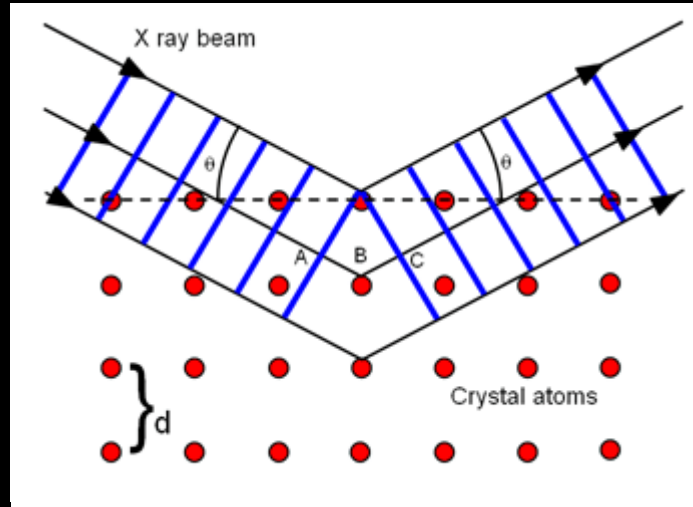
Espectroscopia Raman



XPS: espectroscopia de fotoelectrones

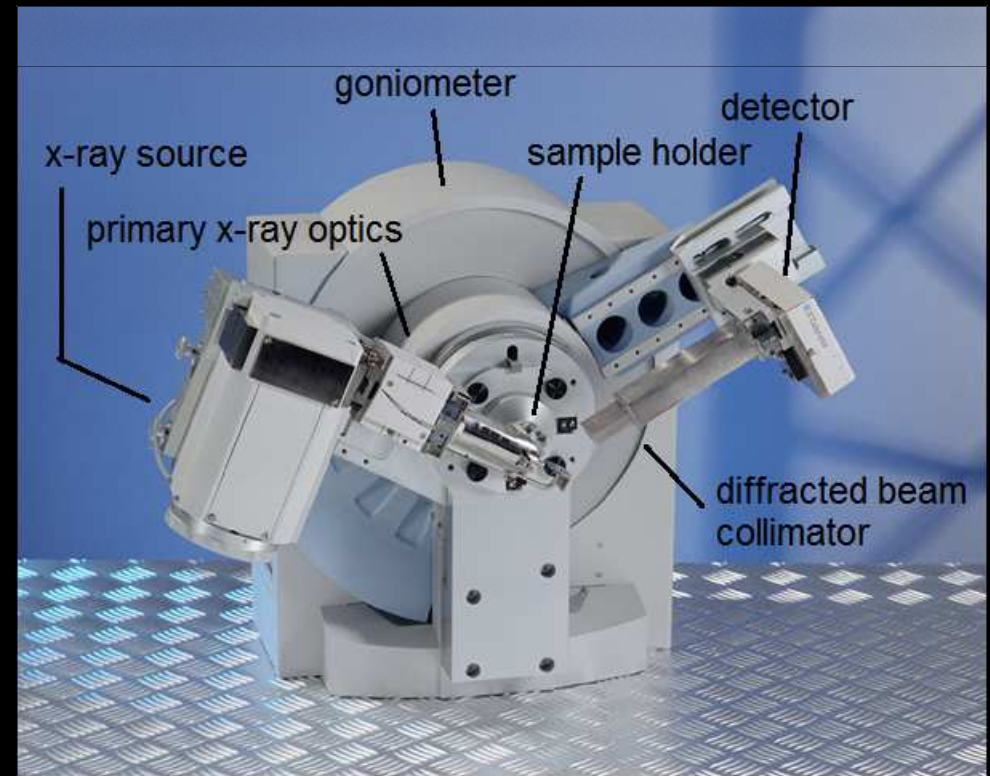
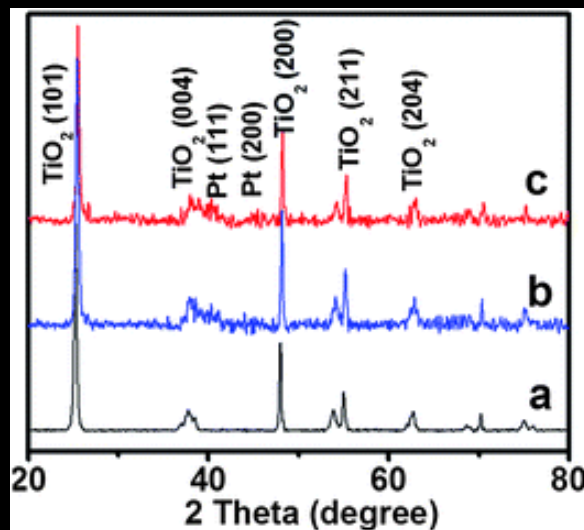
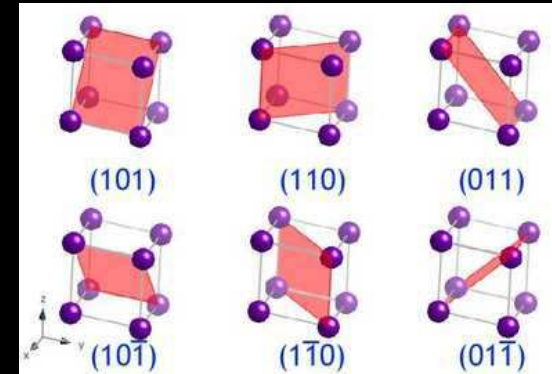


DIFRACCIÓN DE RAYOS X



Ley de Bragg

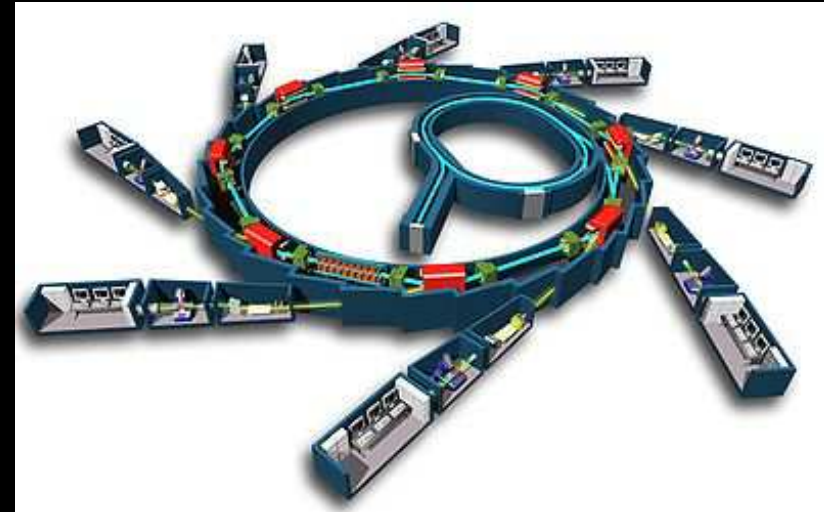
$$2d \text{ Sen } \theta = n\lambda$$



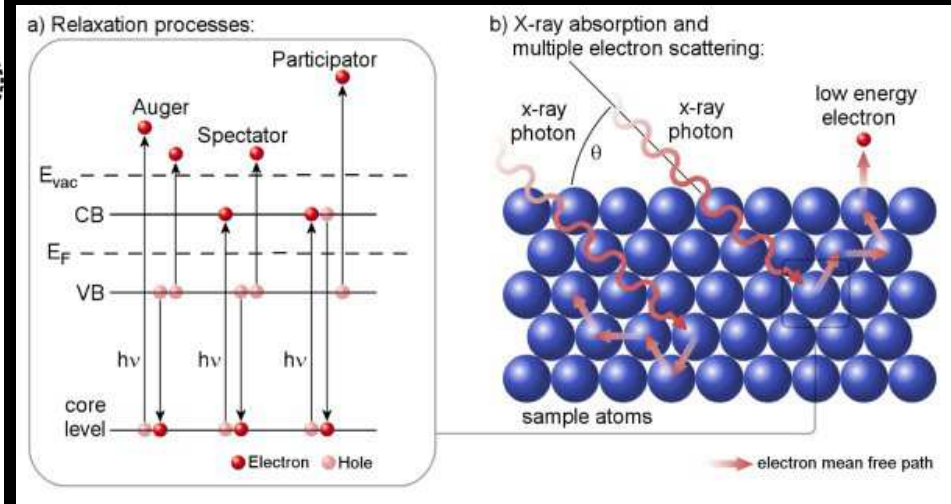
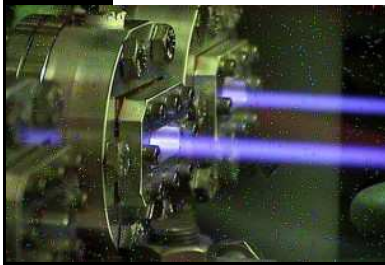
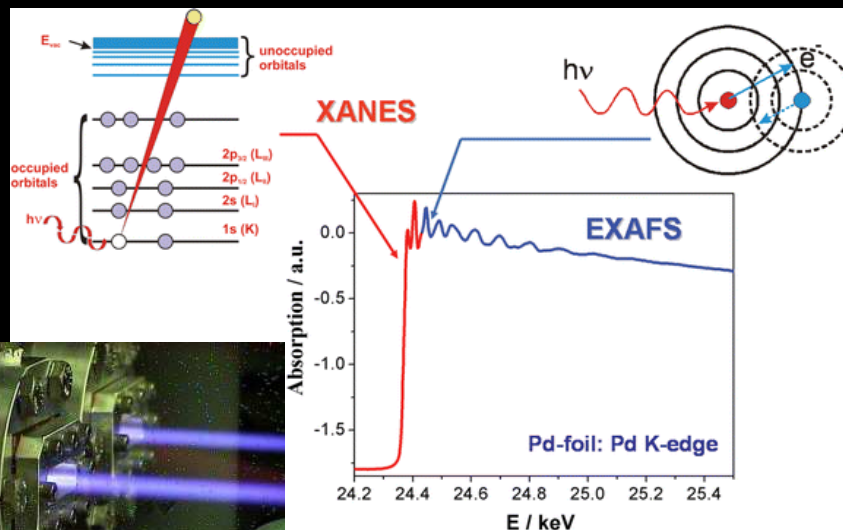
TÉCNICAS CON LUZ SINCROTRÓN



Sincrotrón ALBA



Haces intensos de luz IR- RX



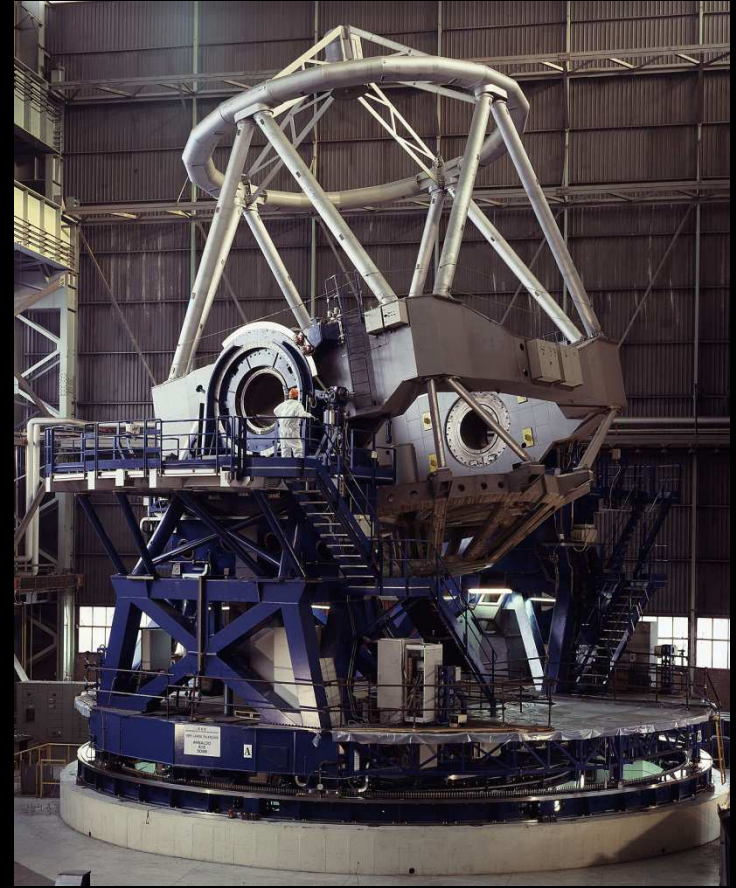


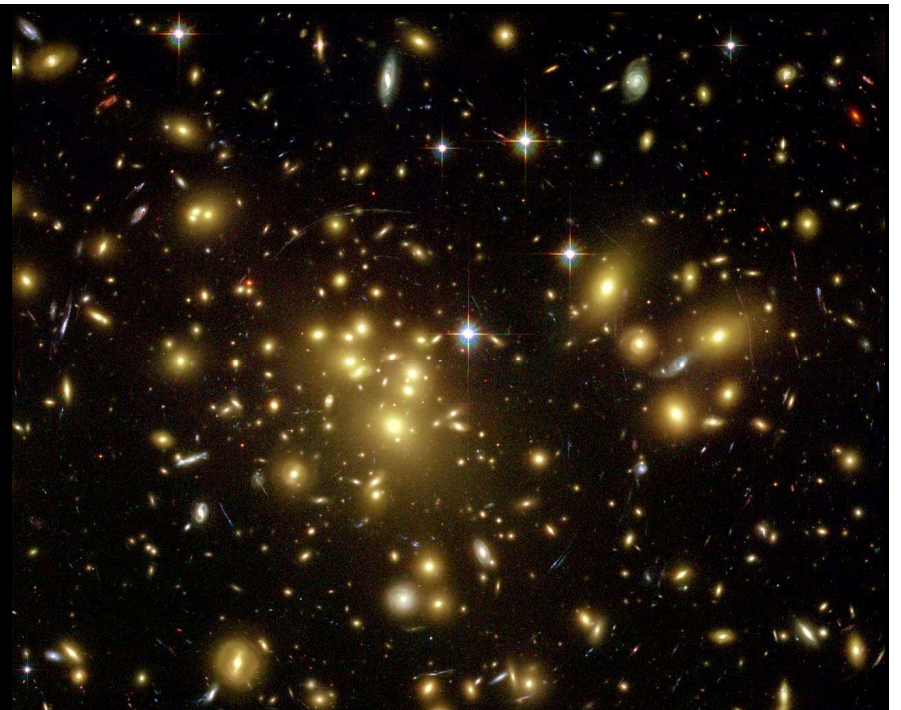
ASTRONOMIA

TELESCOPIOS

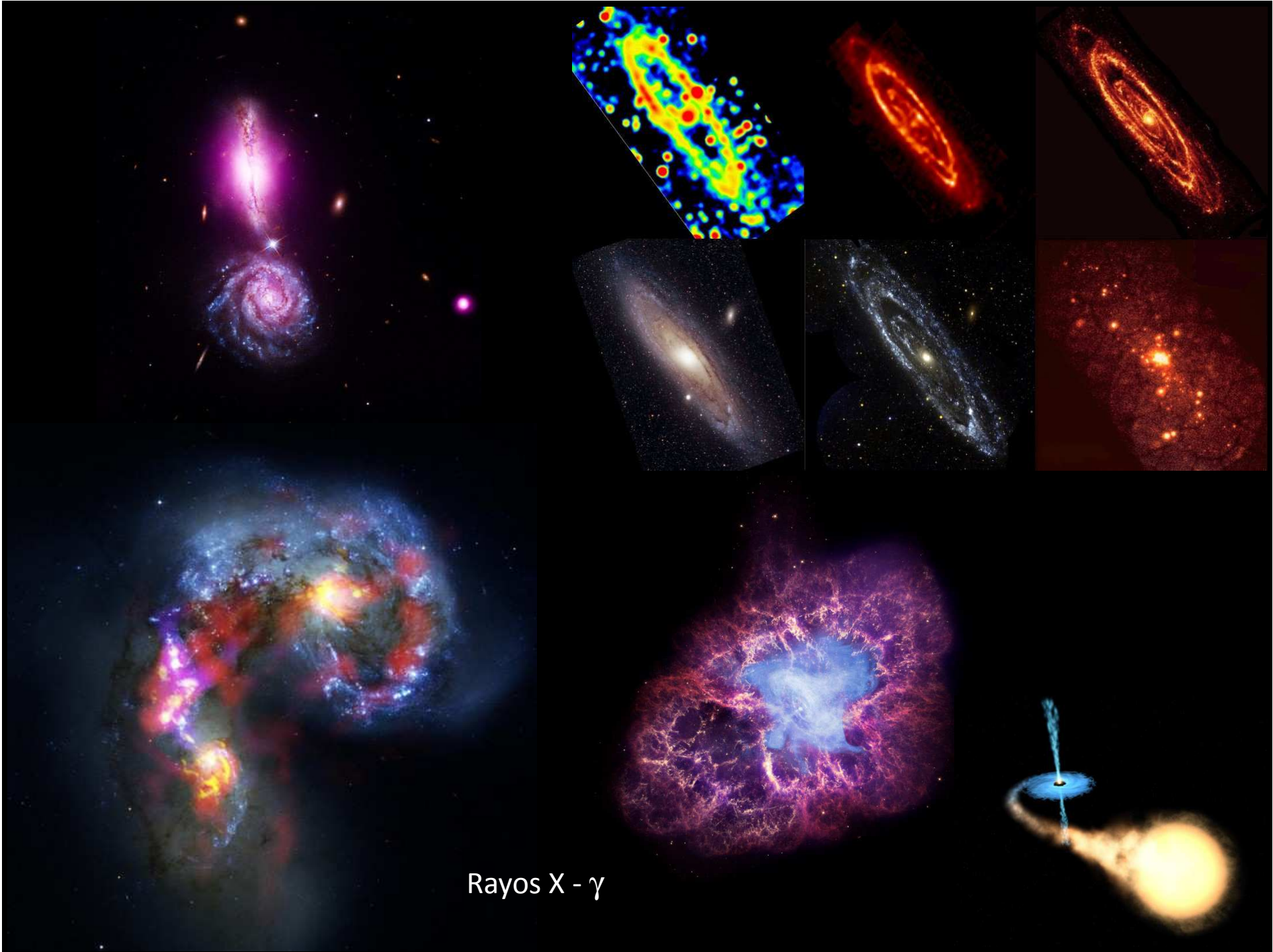


Observación desde ondas de radio a rayos γ

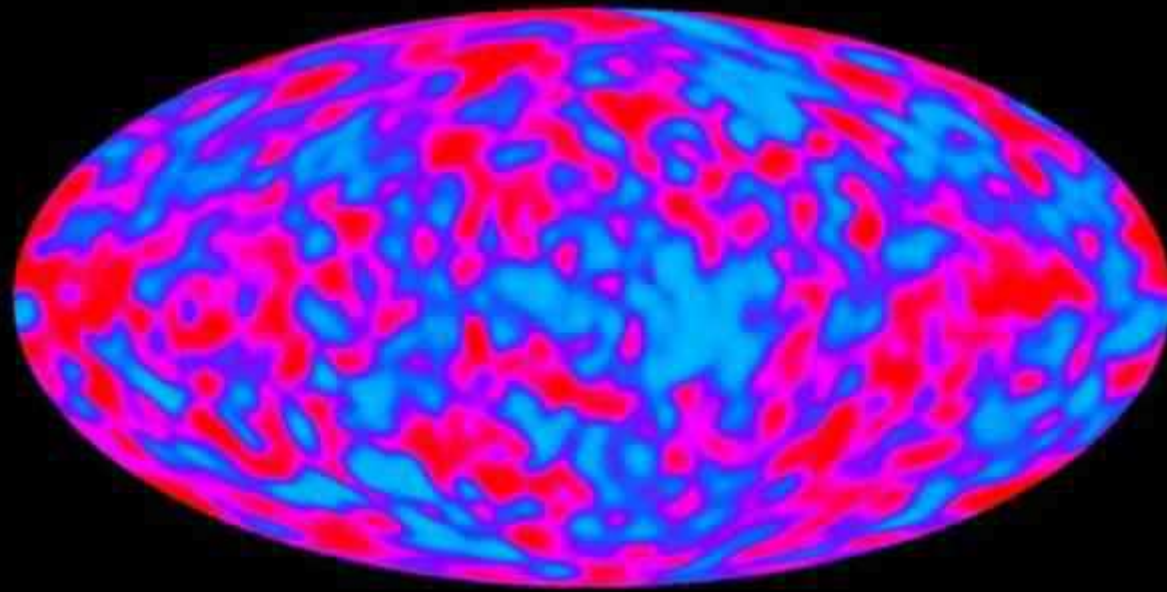




Espectro visible

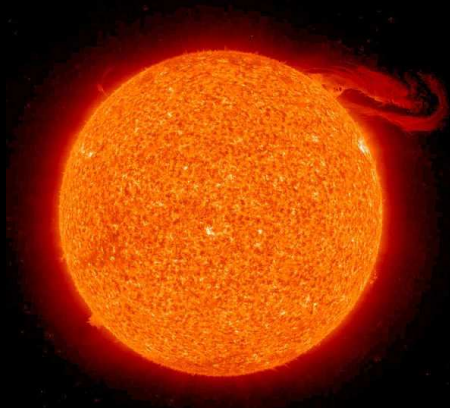


Rayos X - γ

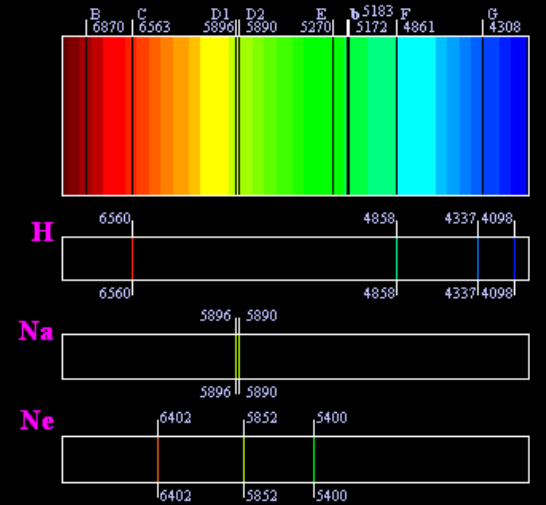


Radiofrecuencia - microondas

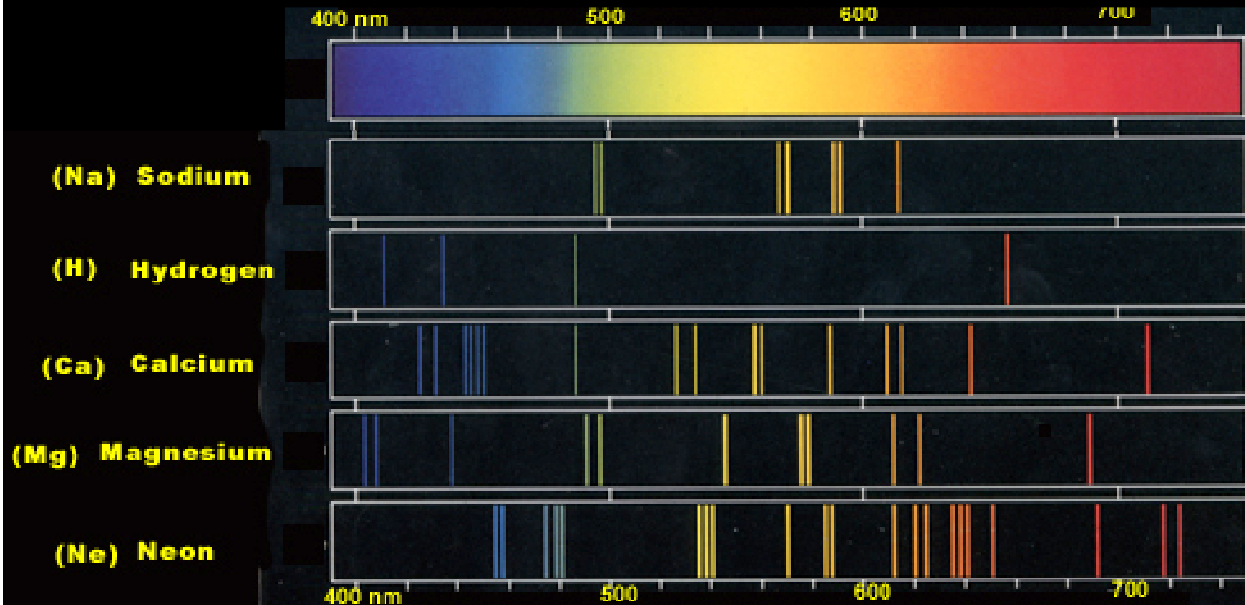
ESPECTROSCOPIA



Espectro Solar



Composición de las estrellas y nebulosas

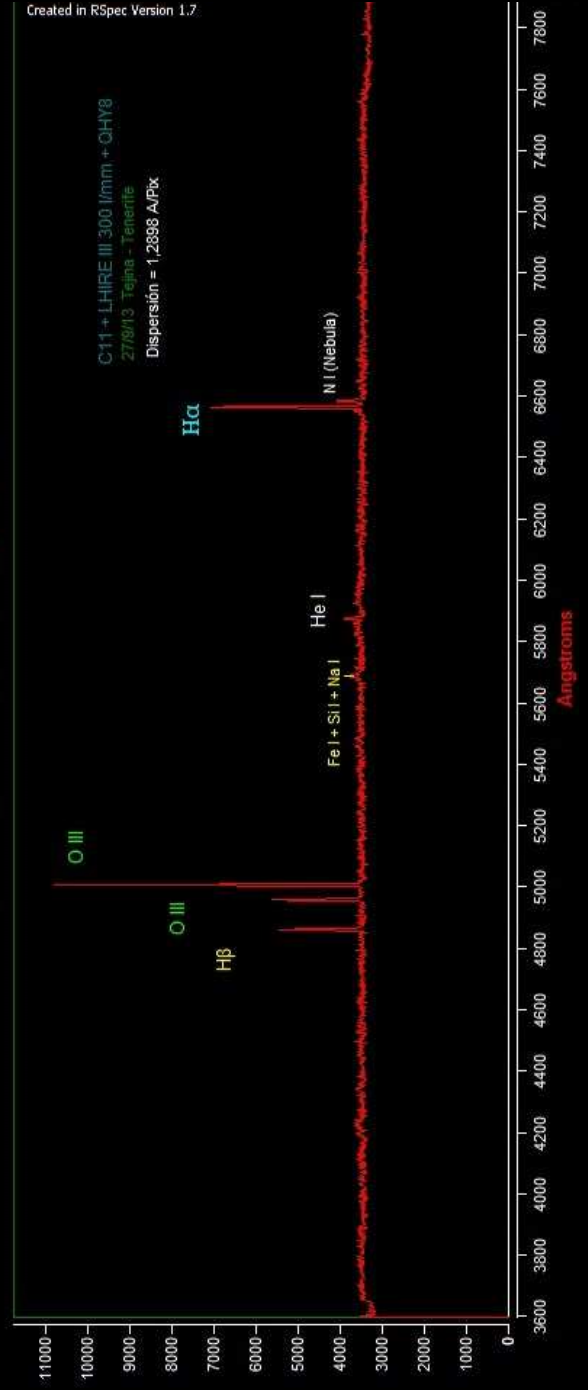


Adapted from Honolulu Community College Science 122 site





NEBULOSA ORION - LINEAS DE EMISION



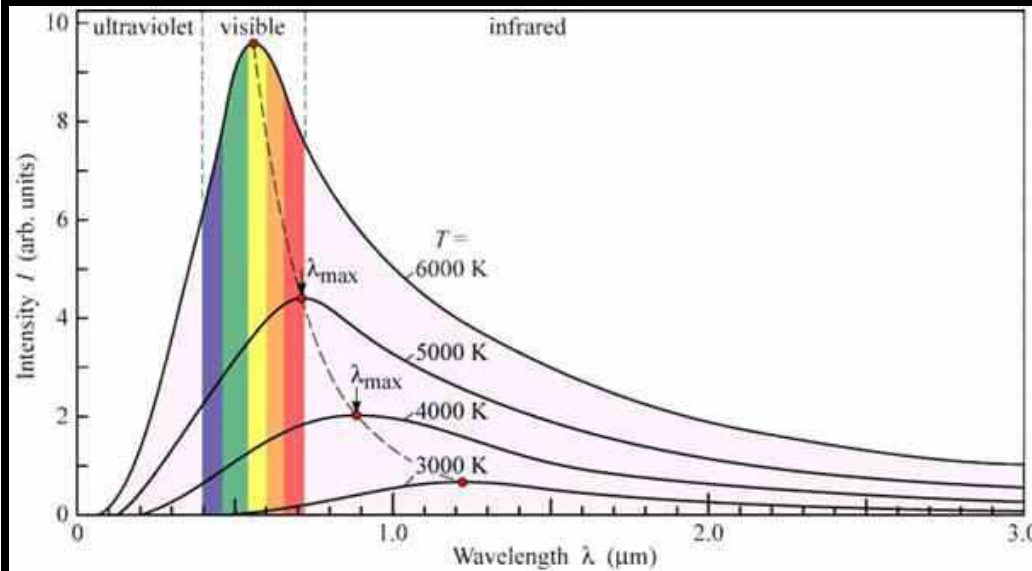
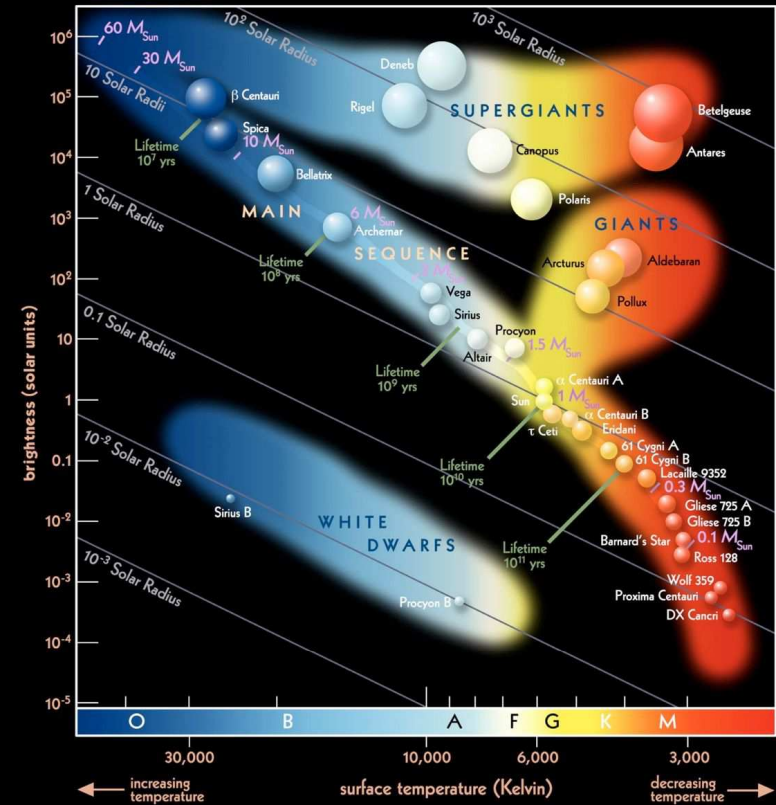
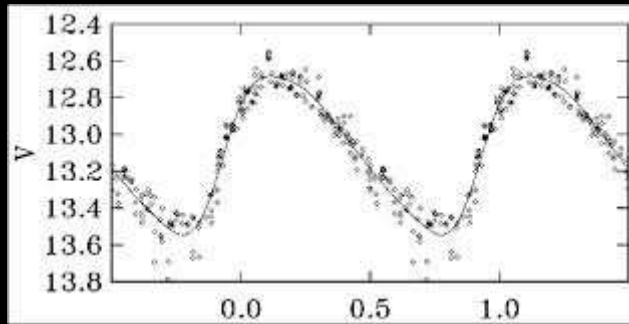
Fotometría (magnitud aparente):

Distancia

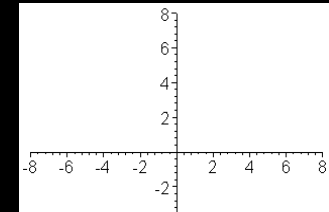
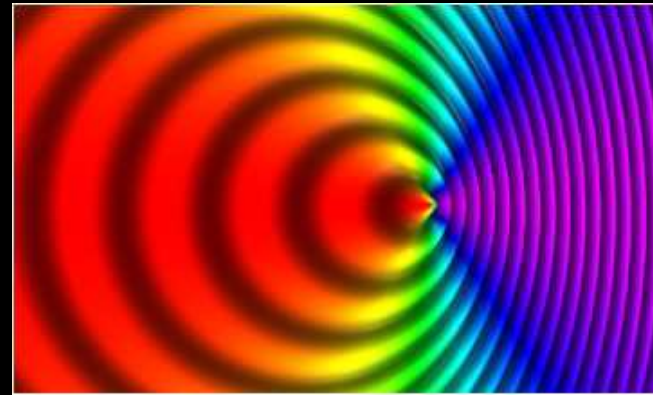
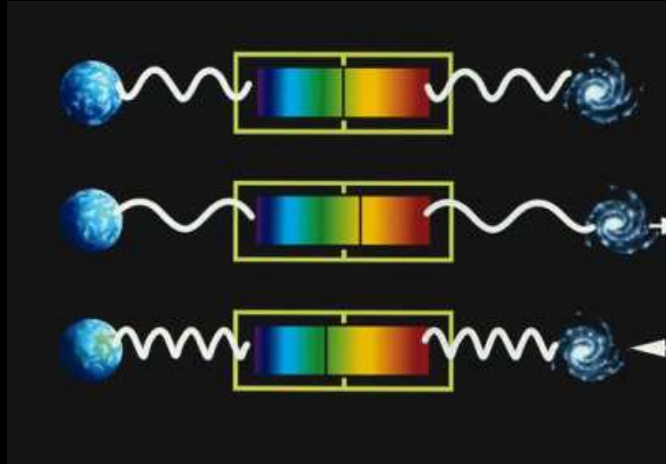
Ley de Wien (longitud de onda máximo):

Temperatura

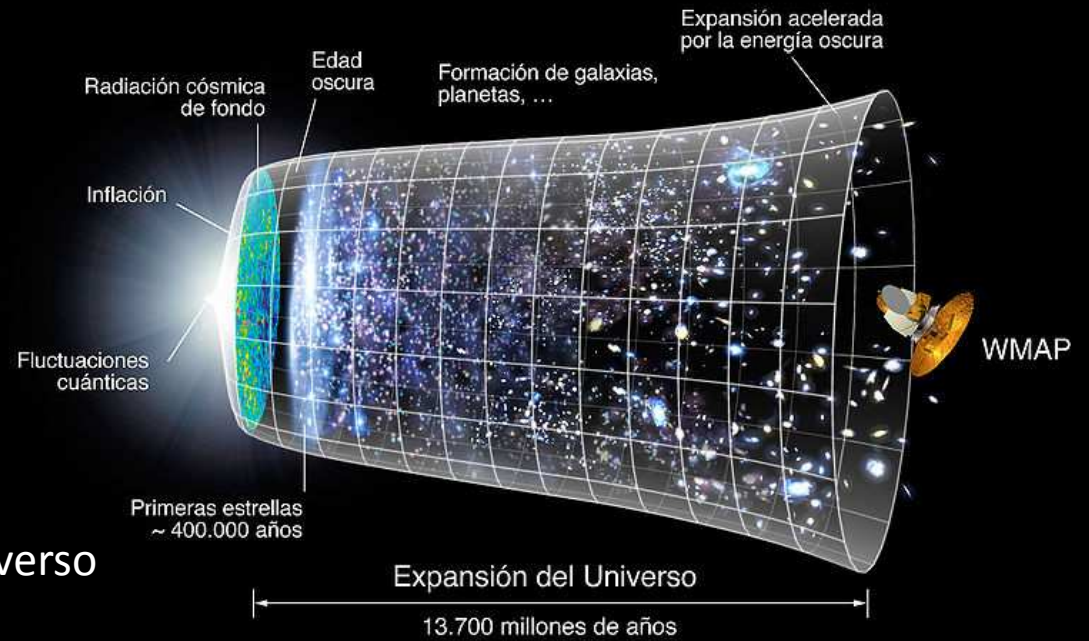
$$\lambda_{\max} T = 0.002898 \text{ m}\cdot\text{K}$$



EFFECTO DOPPLER



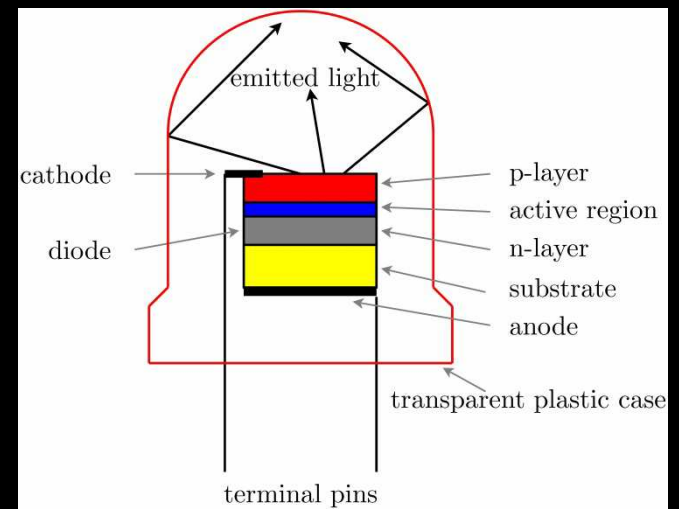
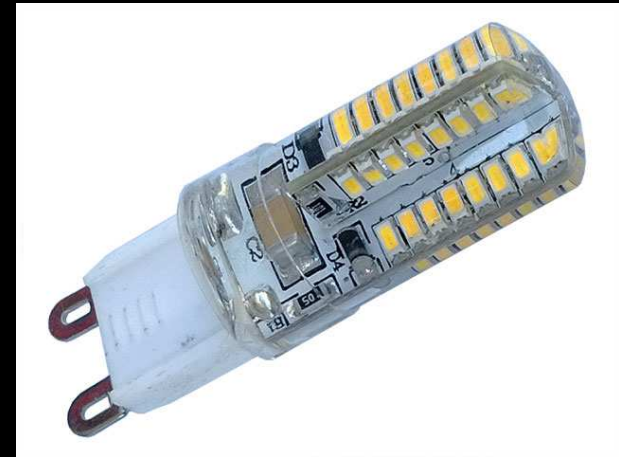
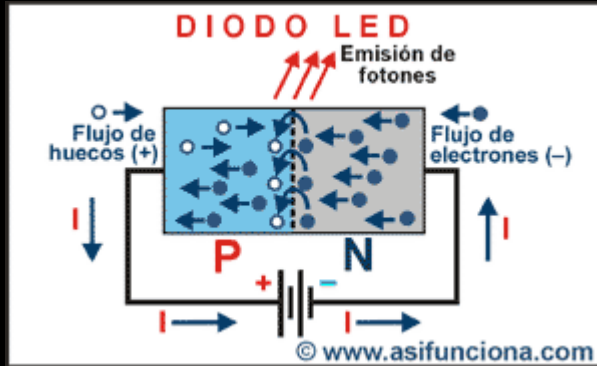
Expansión del universo





ELECTRÓNICA

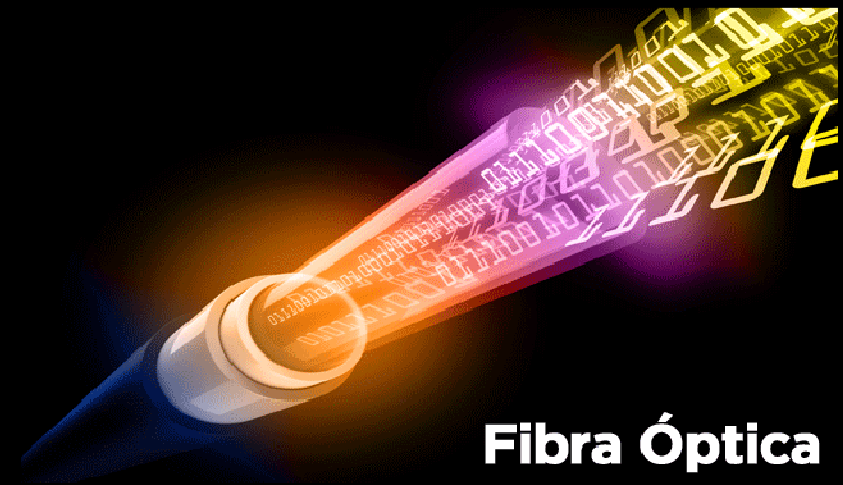
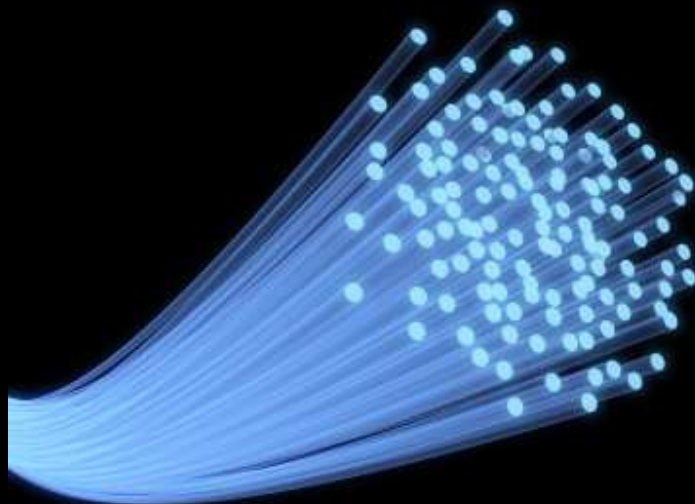
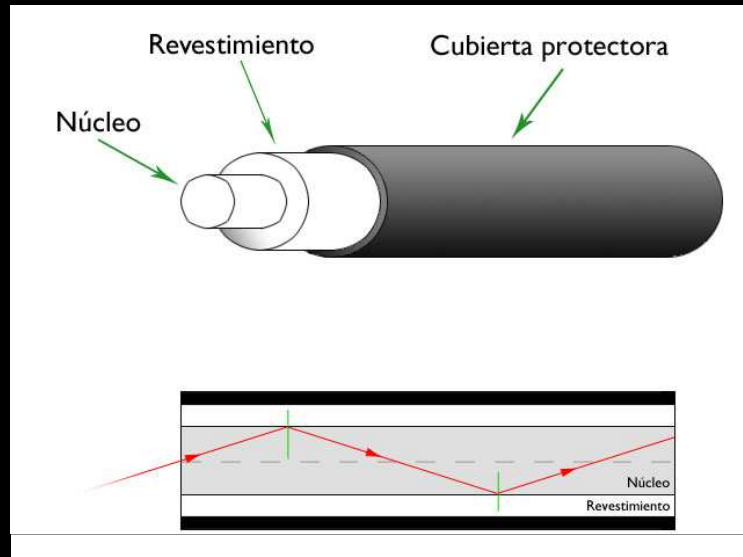
FOTODIODO – DIODO LED



OLED (PANTALLAS FLEXIBLES)



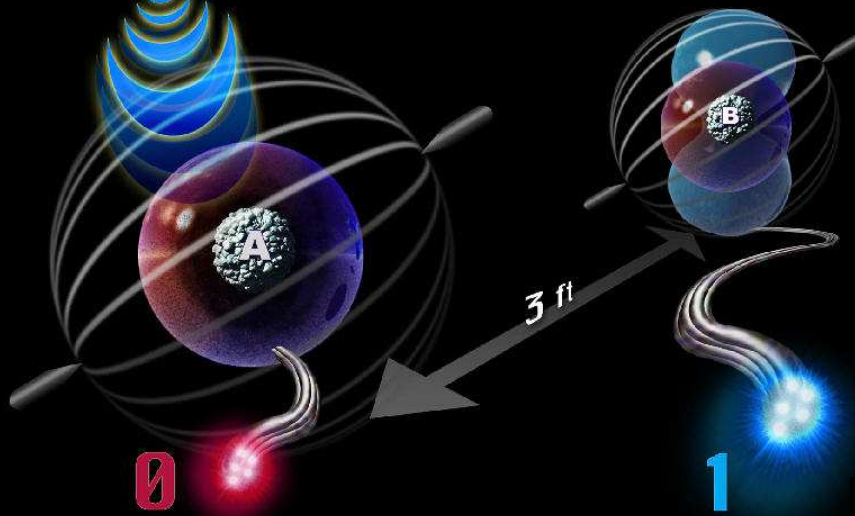
COMUNICACIONES ÓPTICAS



Fibra Óptica

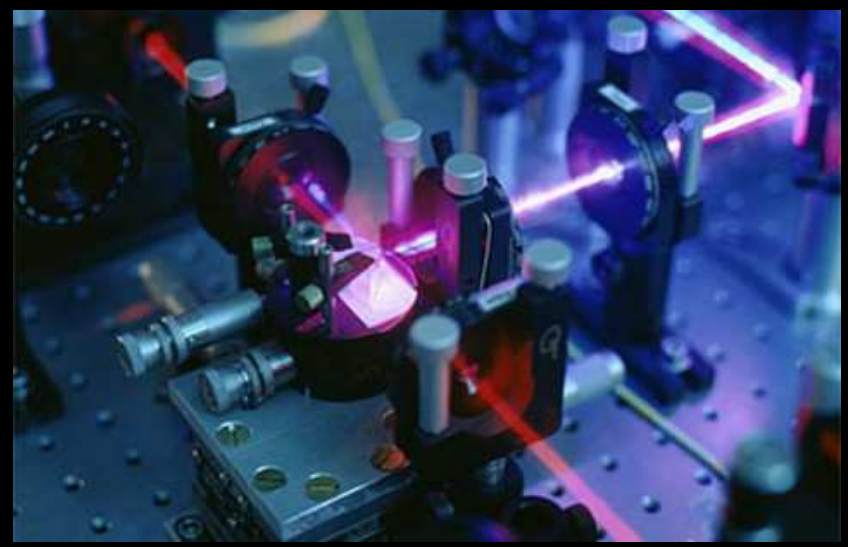
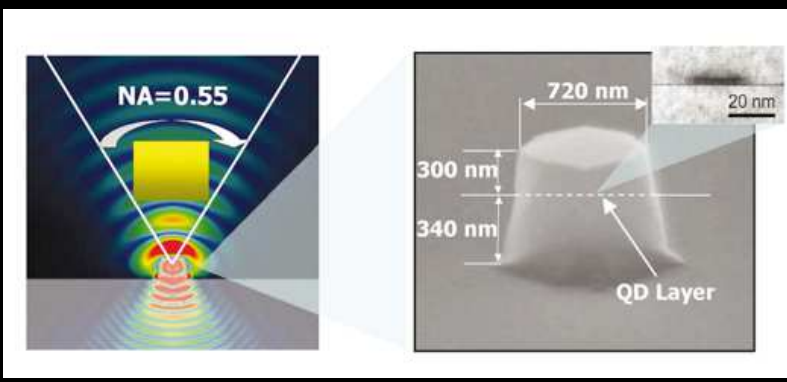
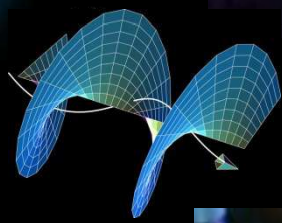
COMUNICACIÓN CUÁNTICA

11101001010111

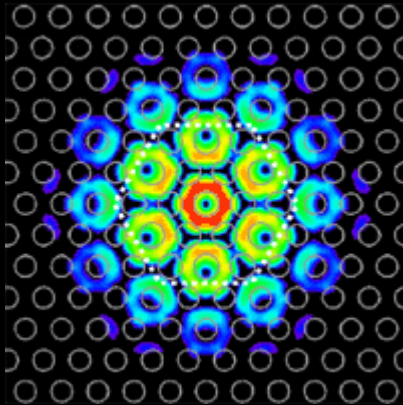


Teleportación

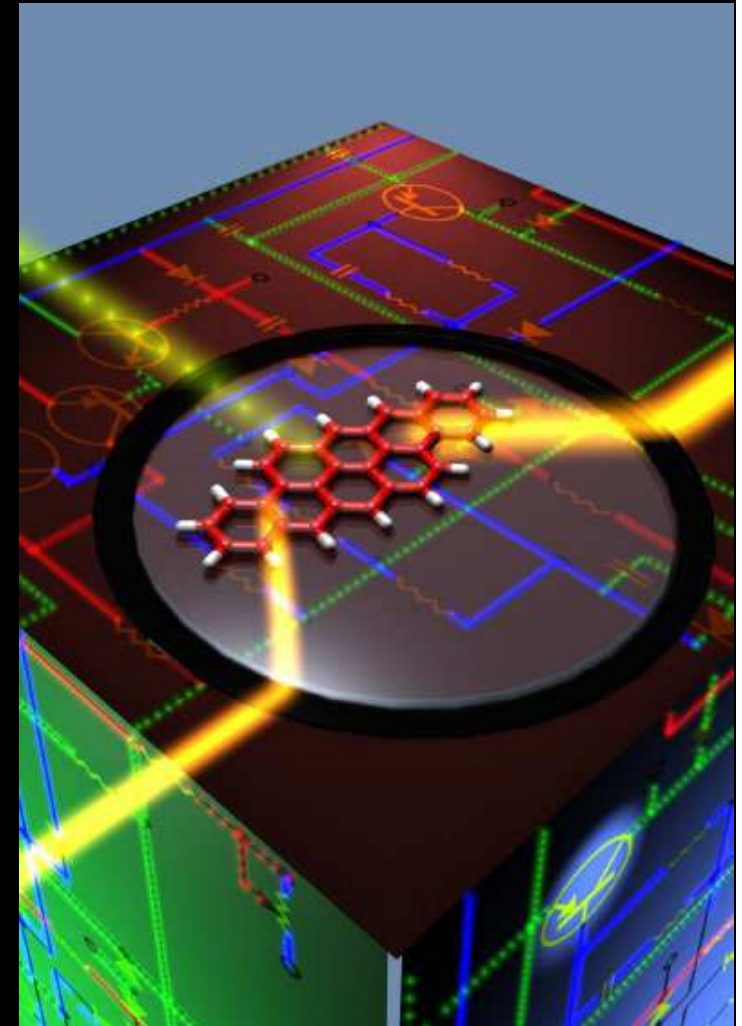
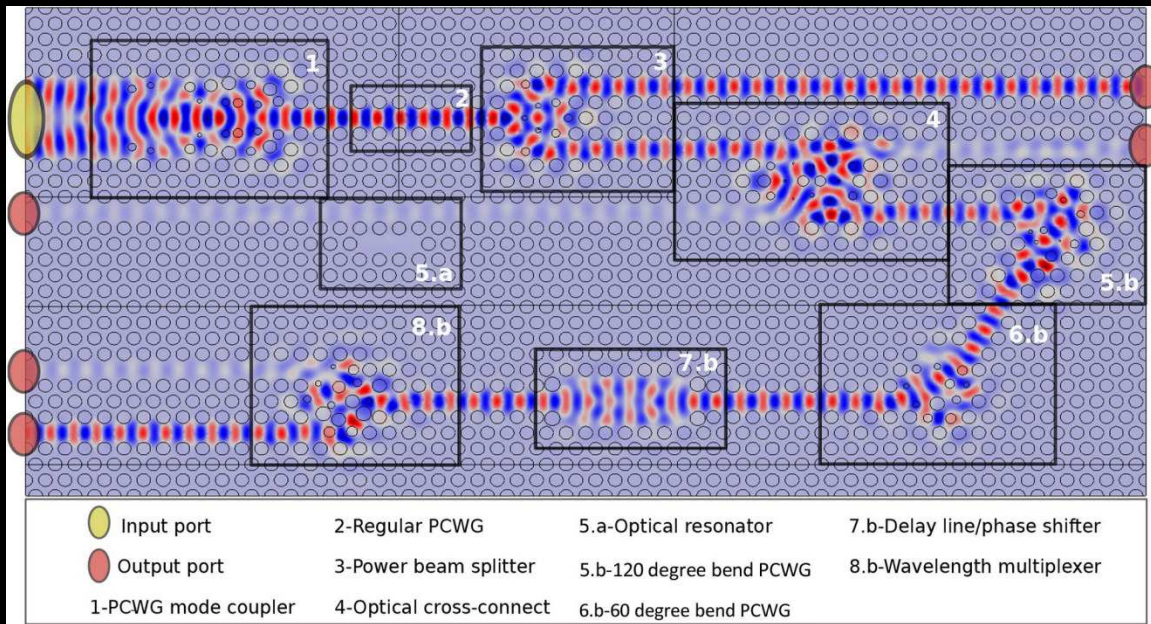
Superposición de estados cuánticos, entrelazamiento y acción a distancia



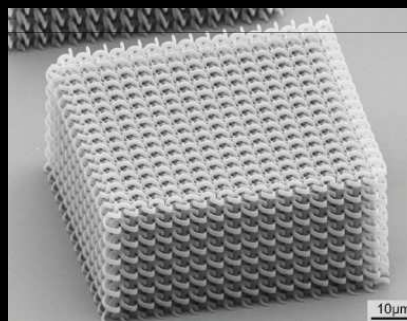
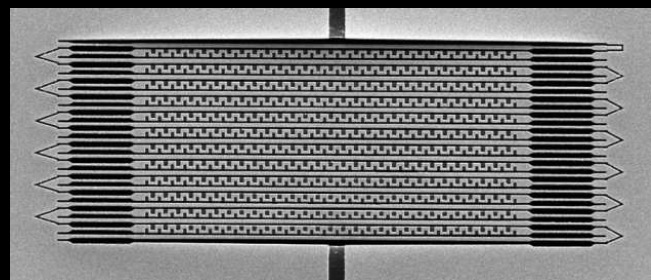
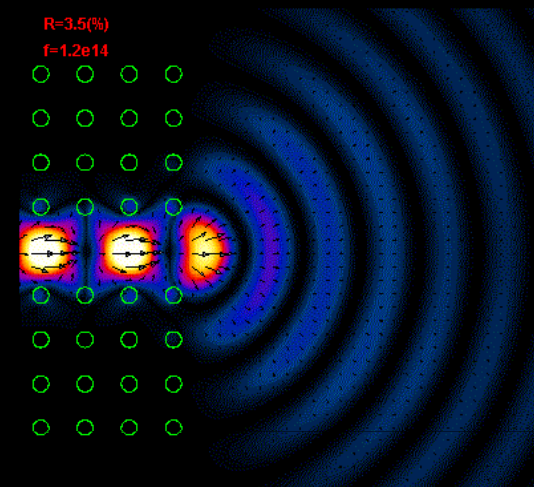
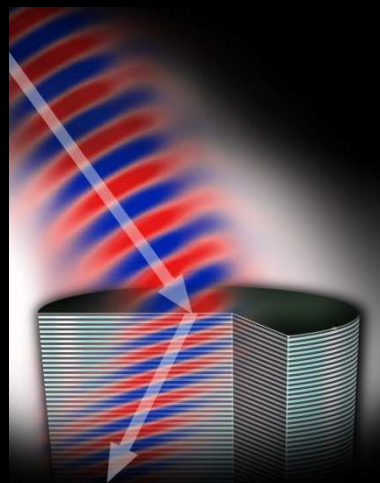
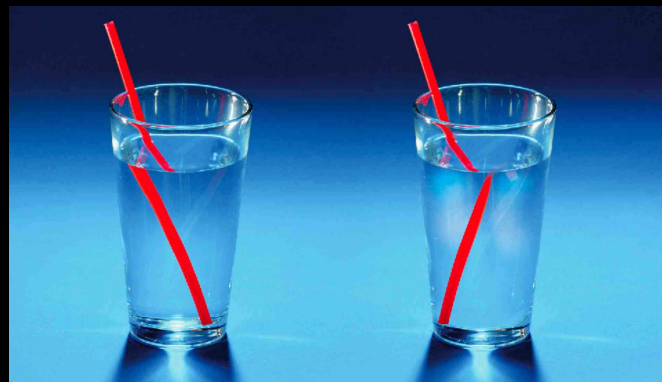
ORDENADOR ÓPTICO



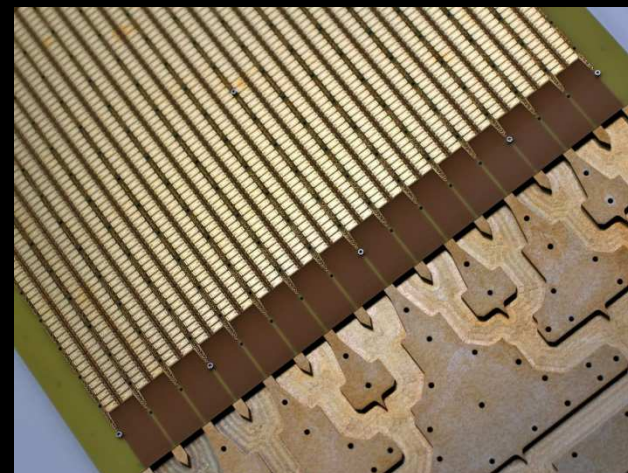
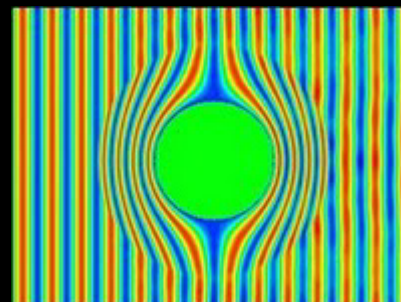
Cristales fotónicos, materiales fotoactivos no lineales



METAMATERIALES



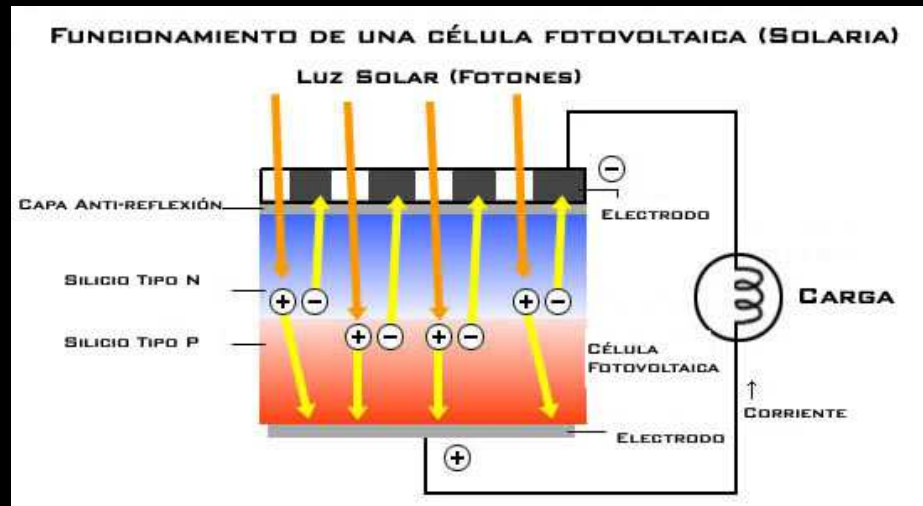
Antenas, filtros, ocultación

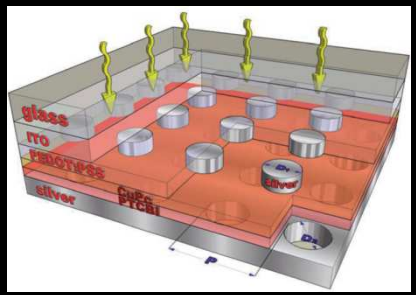
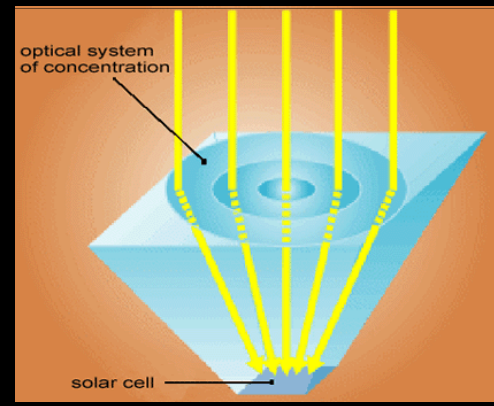
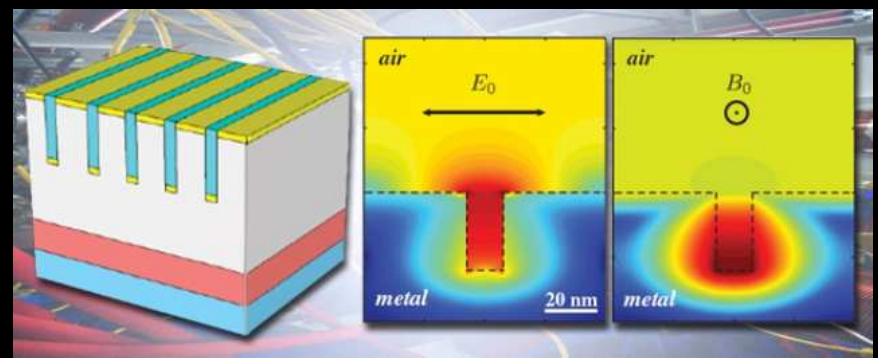
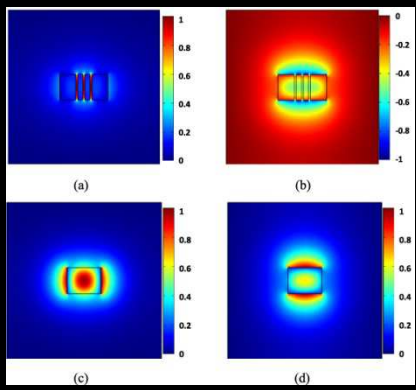
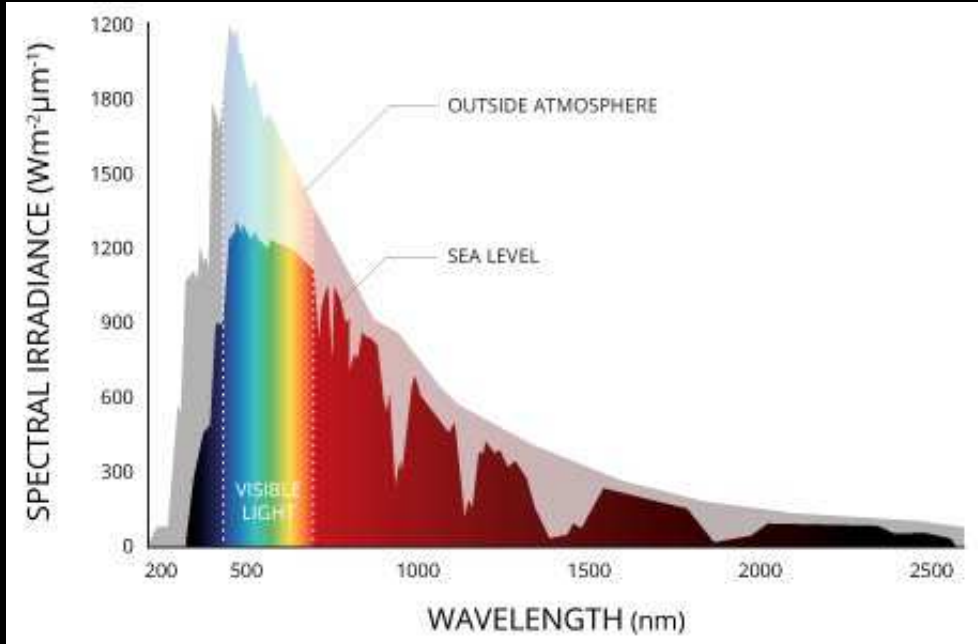


A central point of light radiates outwards, creating a starburst effect with numerous thin, bright rays of light. The rays transition from a bright white-yellow at the center to various shades of blue as they extend outwards. The background is a deep, dark blue/black, speckled with small, distant stars. The word 'ENERGÍA' is centered horizontally and vertically over the starburst, rendered in a bold, yellow, sans-serif font.

ENERGÍA

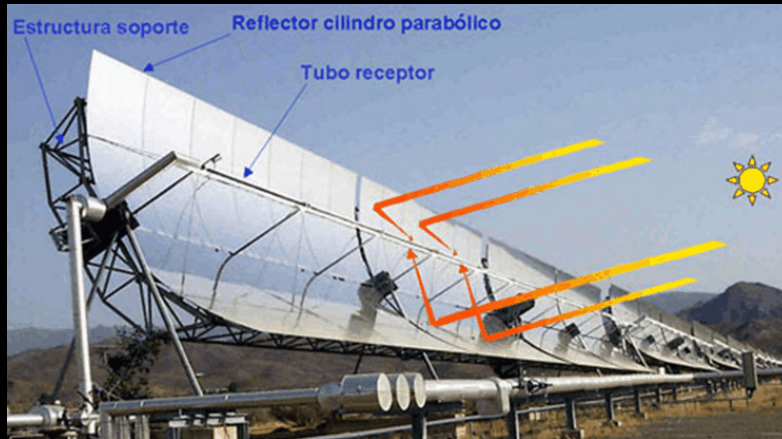
ENERGÍA SOLAR FOTOVOLTAICA



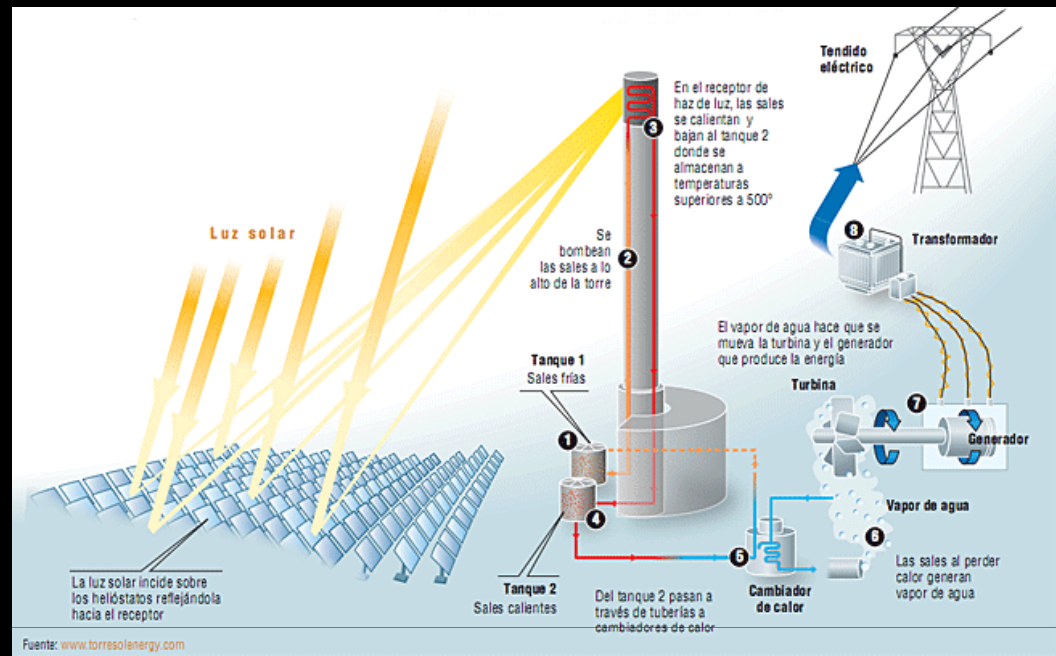


- Células solares de concentración
- Celulas solares infrarrojas

ENERGÍA SOLAR TÉRMICA



Captación cilindro-parabólica

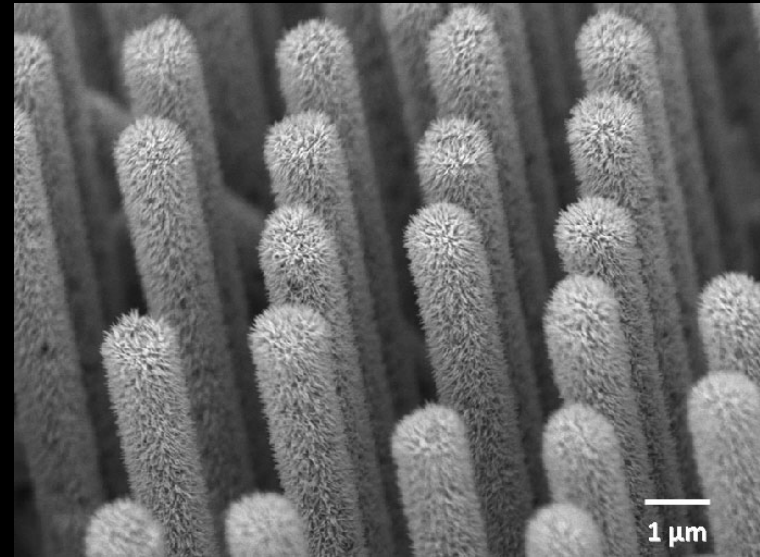
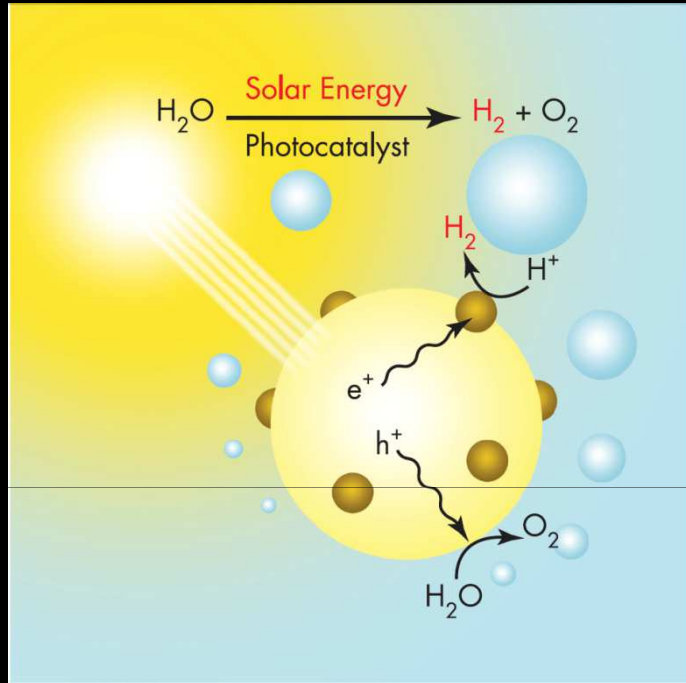


Torre central



Motor Stirling

PRODUCCIÓN DE COMBUSTIBLE SOLAR



- Fotodisociación del agua:
Hidrógeno

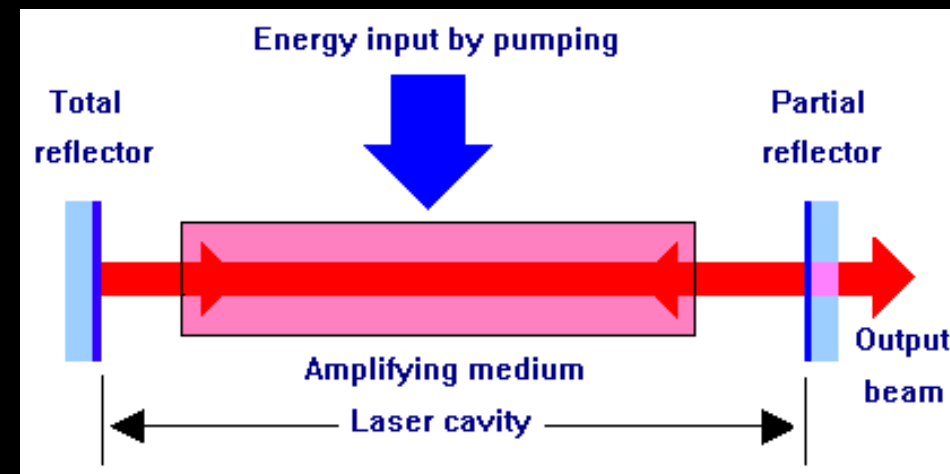
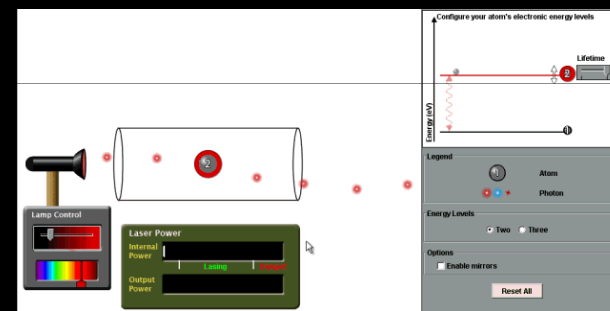
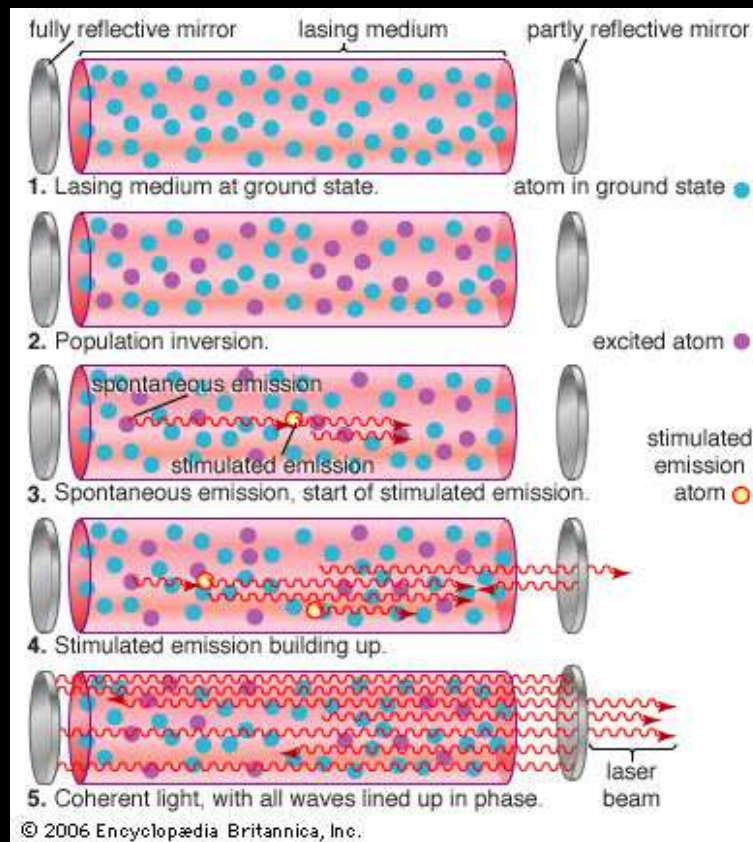
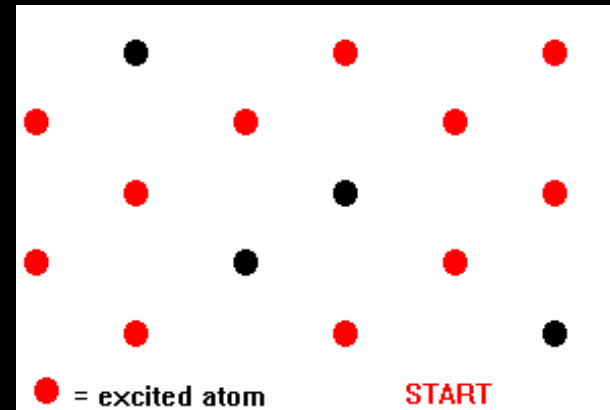
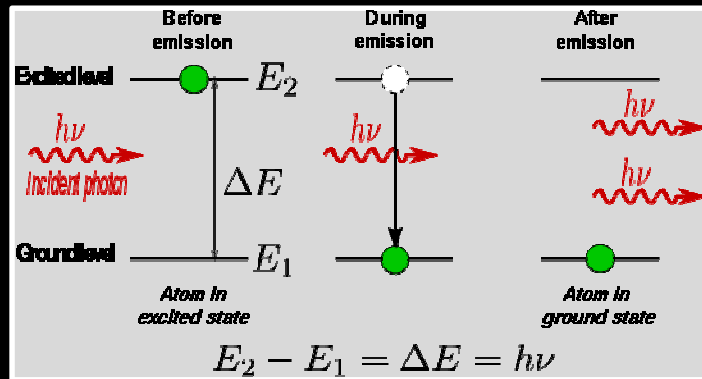
- Producción de hidrocarburos
a partir de agua y CO_2





**LÁSER:
FUNCIONAMIENTO
Y APLICACIONES**

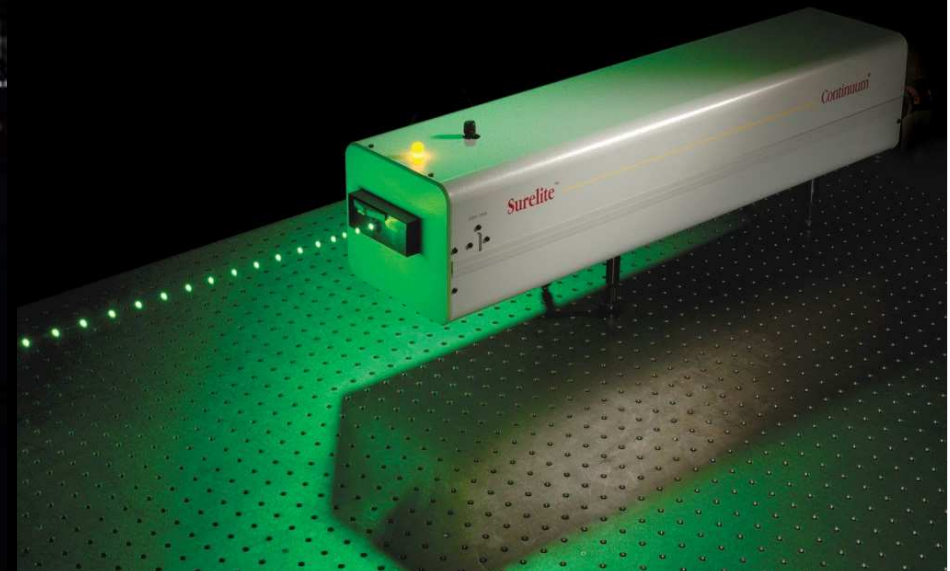
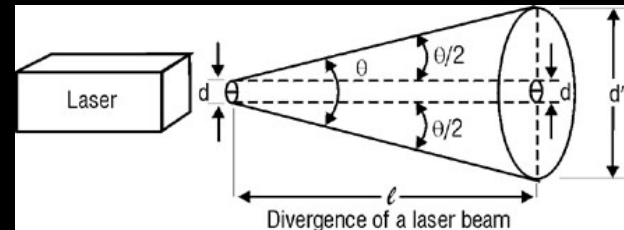
LASER – AMPLIFICACIÓN DE LUZ POR EMISIÓN ESTIMULADA DE RADIACIÓN



CARACTERÍSTICAS DE LA RADIACIÓN LÁSER

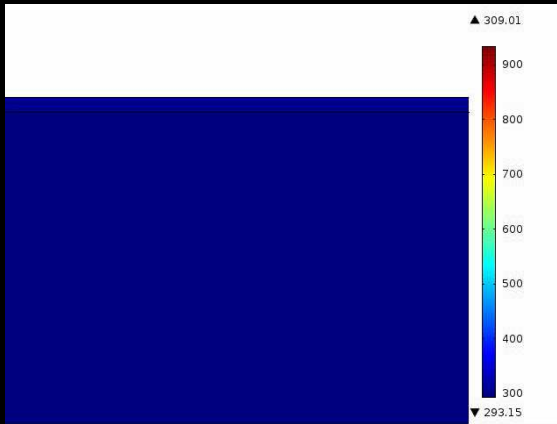
- Monocromática
- Coherente
- Muy poco divergente (direccional)
- Continua / Pulsada (fs – ms)
- Intensidad hasta TW/cm^2
($T = 10^{12}$)

$$\text{Intensidad} = \frac{\text{Energía}}{\text{Área} * \text{tiempo}}$$



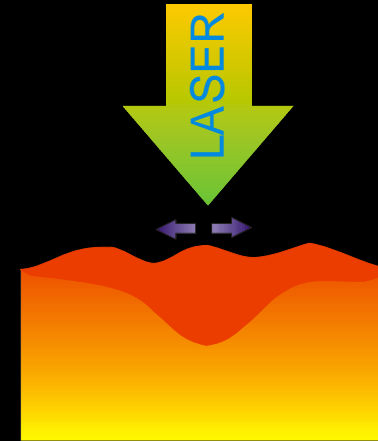
INTERACCIÓN LÁSER - MATERIA

Calentamiento



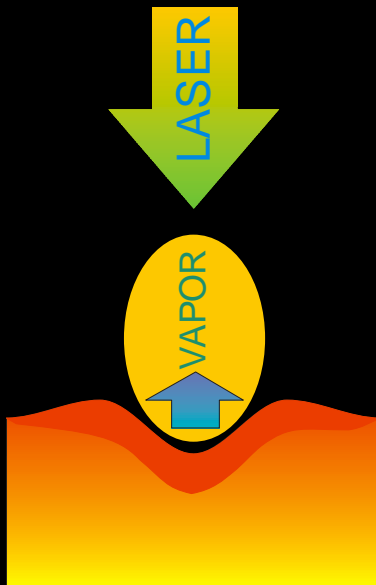
- Propagación del calor
- Difusión de especies químicas
- Reacciones químicas

Fusión



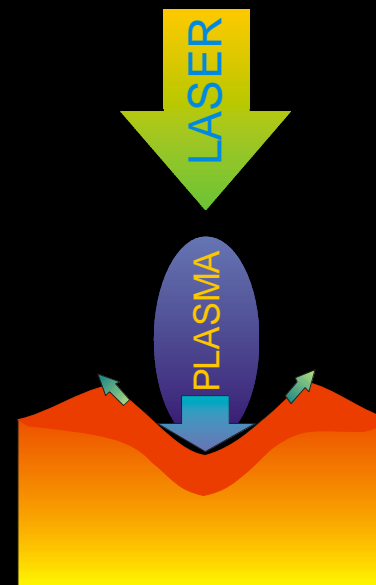
- Movimientos hidrodinámicos
- Difusión
- Convección

Vaporización



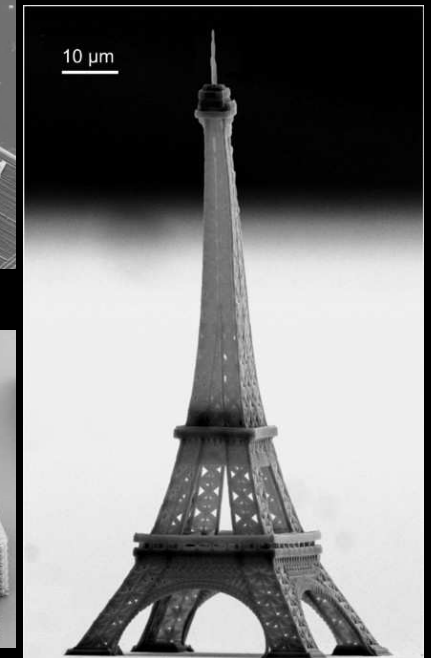
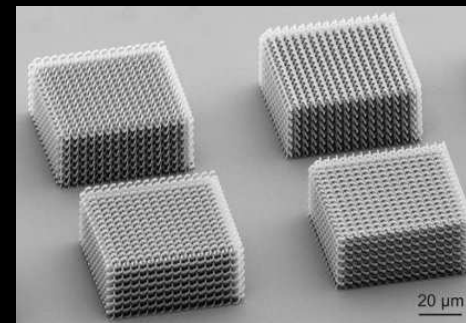
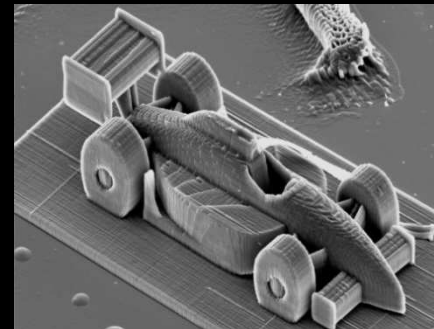
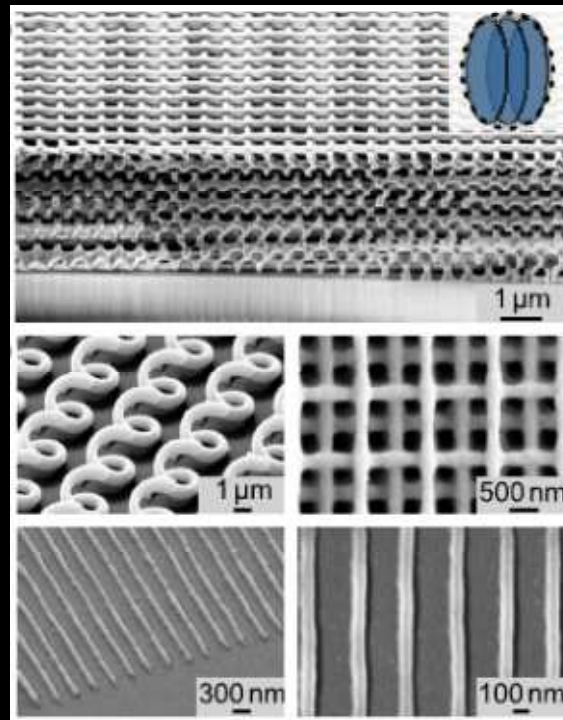
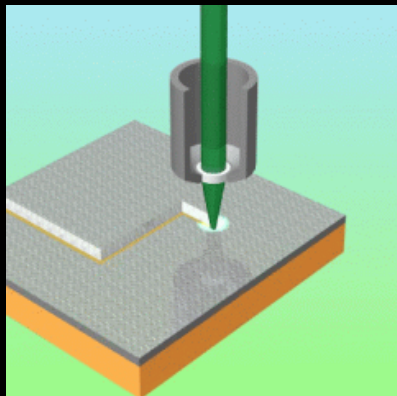
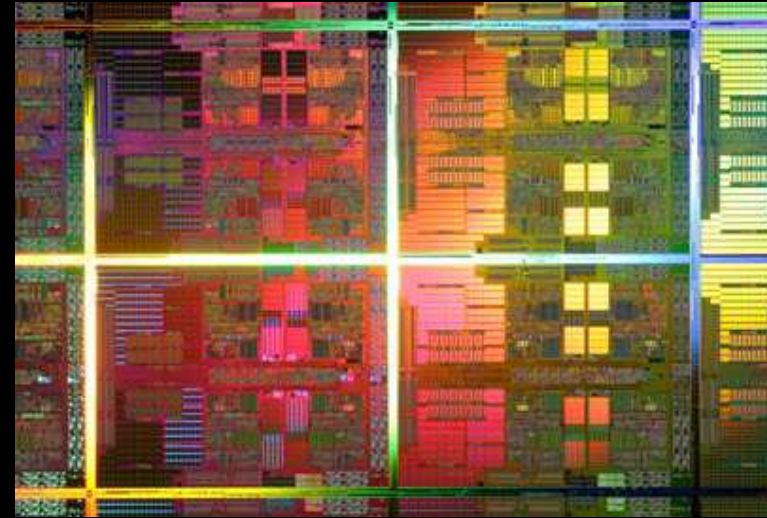
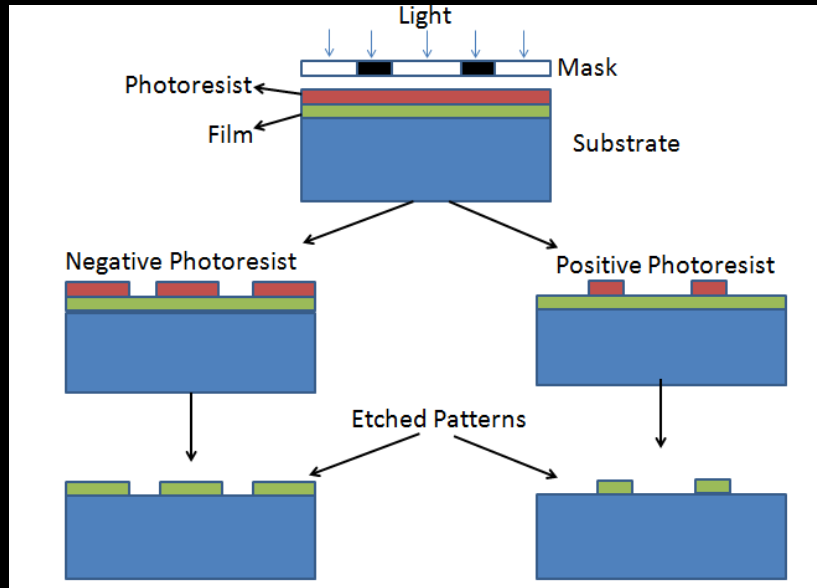
- Formación de cráter
- Redepósito
- Bubbling

Formación de plasma



- Plasma de retroceso
- Ondas de choque

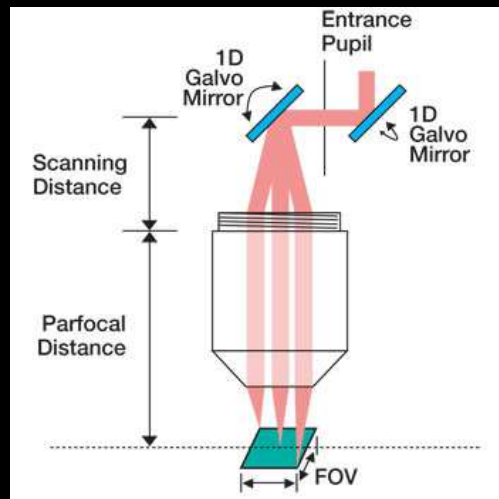
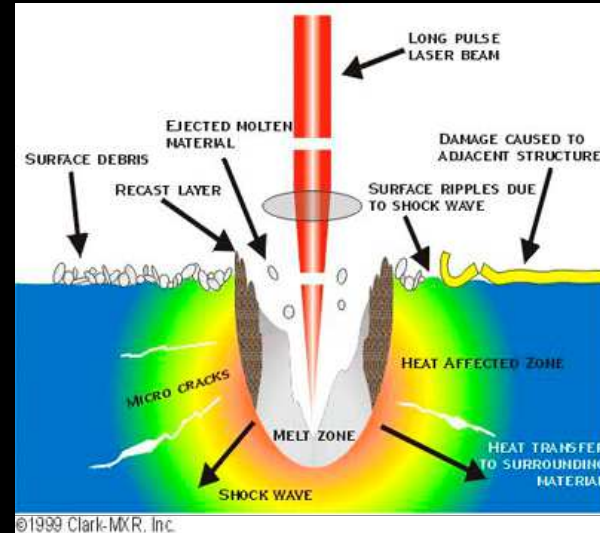
FOTOPOLIMERIZACIÓN DE RESINAS



TRATAMIENTO DE MATERIALES

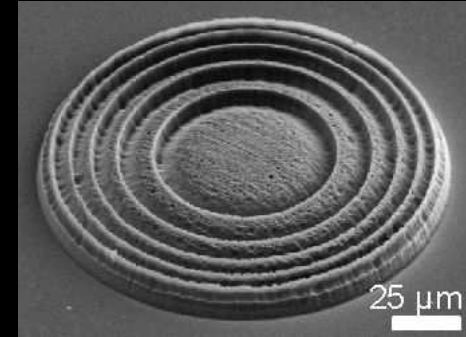
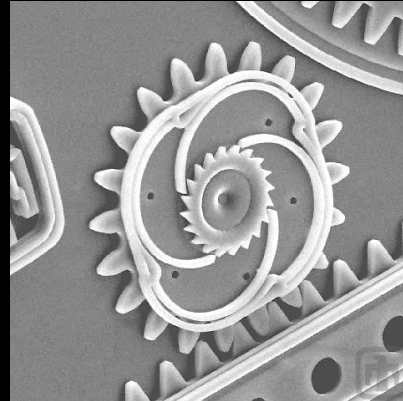
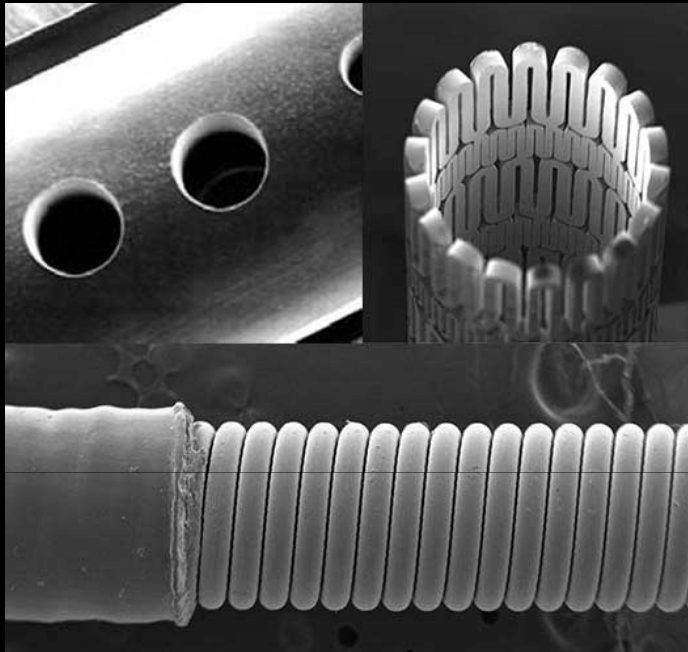


Corte láser

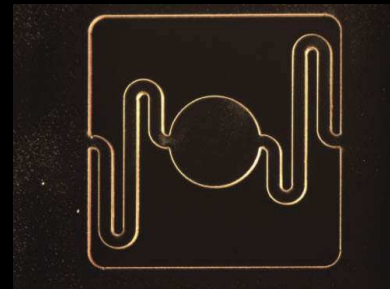


Marcado láser

MICROMECHANIZADO LÁSER

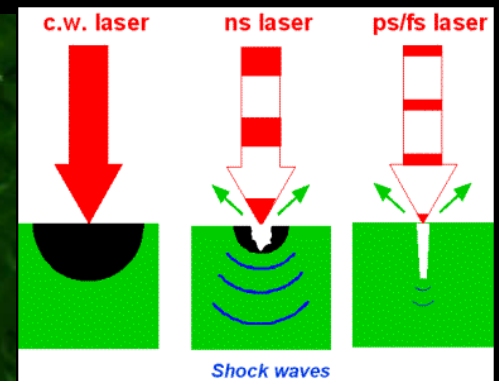


Lente Fresnel

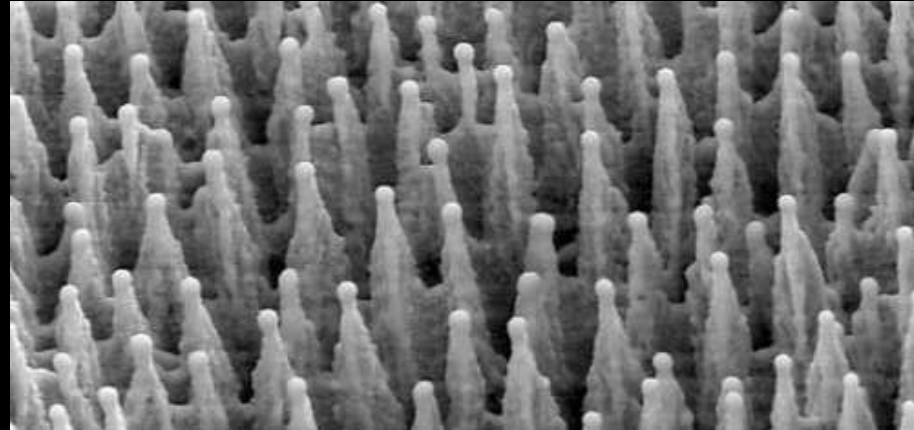


Microfluidica

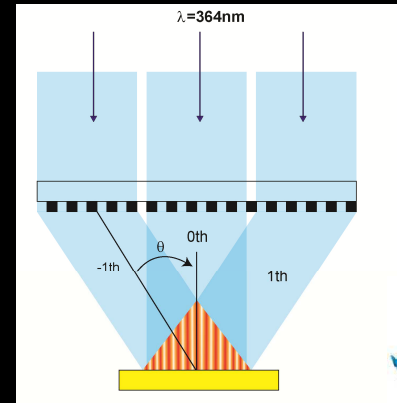
Ablación con láser de femtosegundo (10^{-15} s):
Absorción multifotón, plasma electrónico,
mínima zona afectada térmicamente



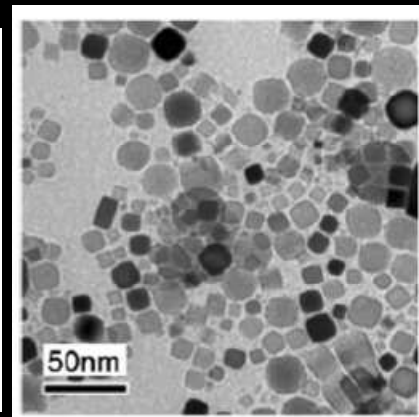
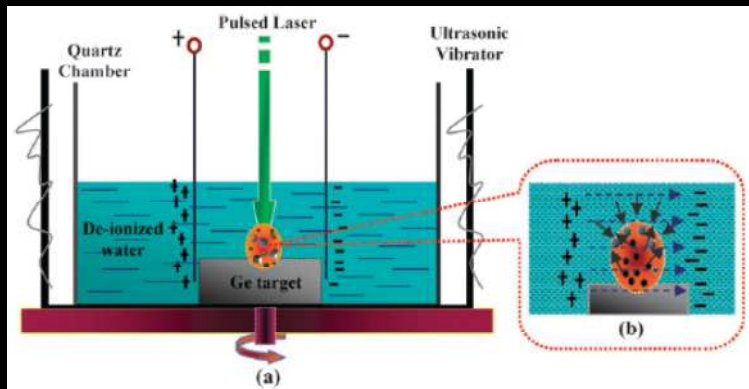
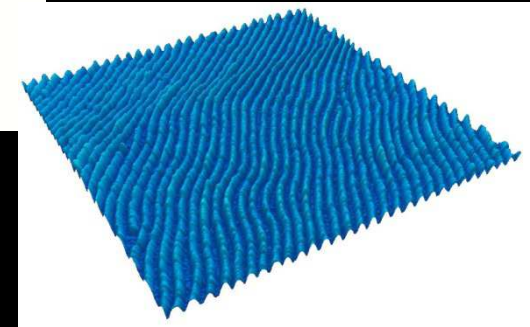
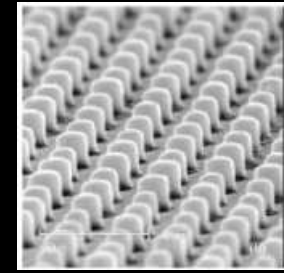
NANOESTRUCTURAS



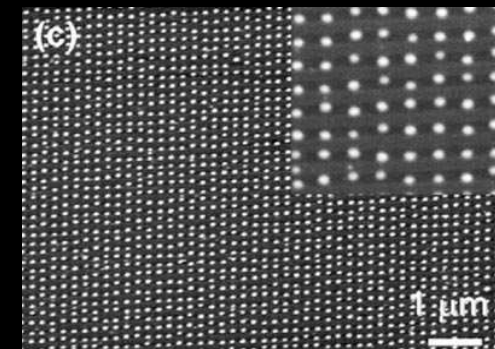
Black silicon



Interferencias

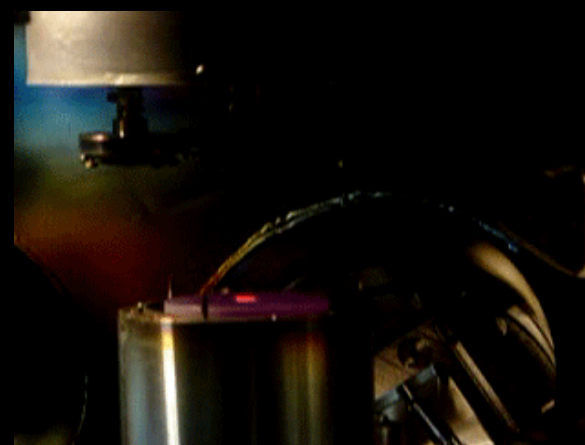
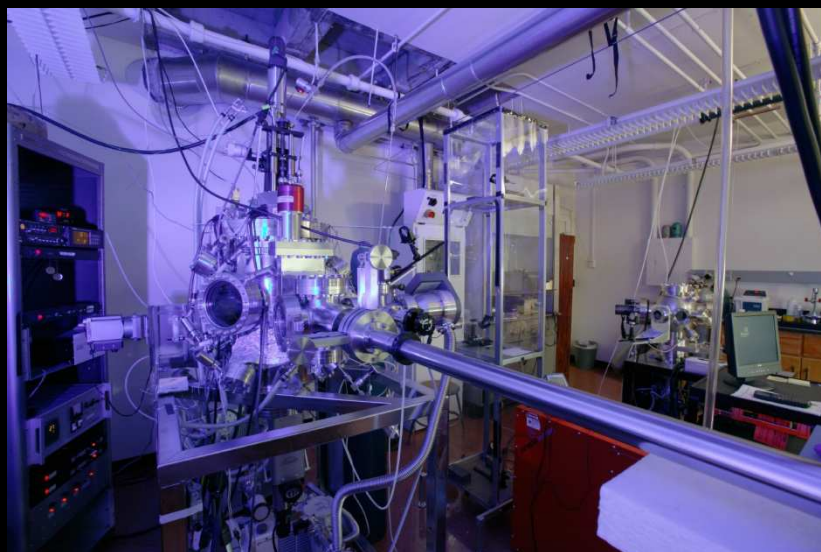
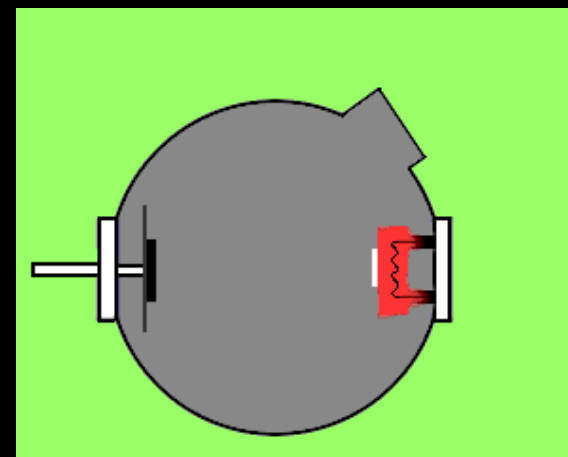
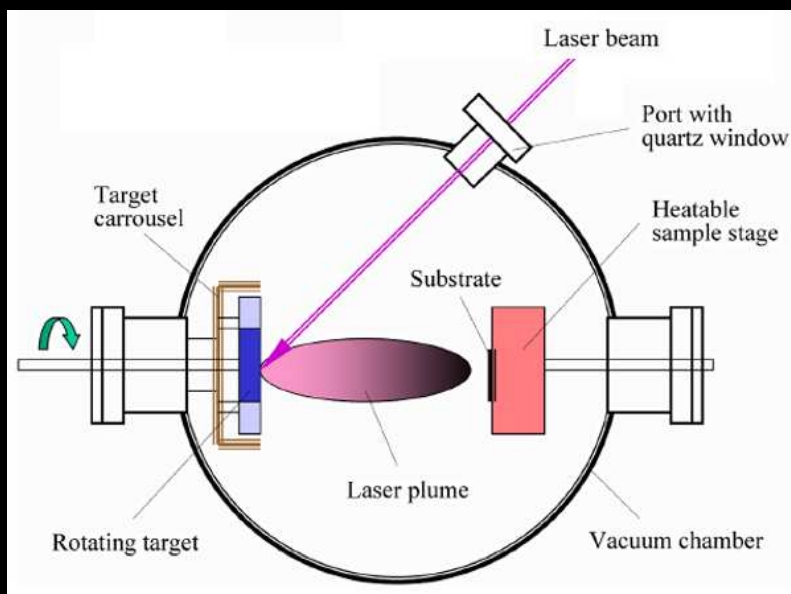


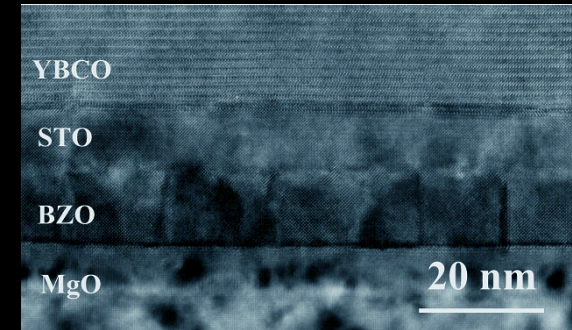
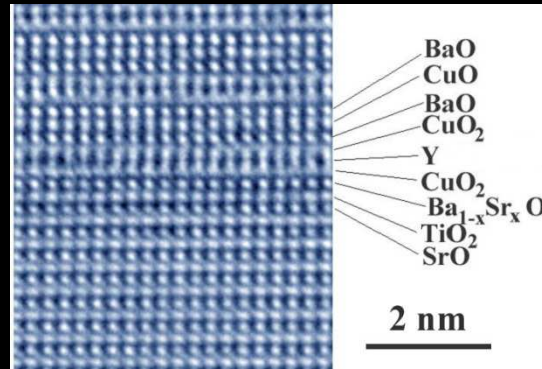
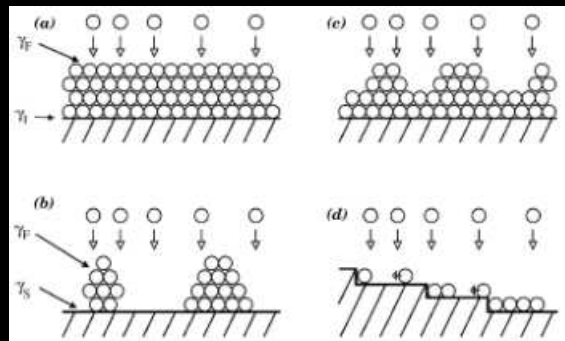
Irradiación en líquidos



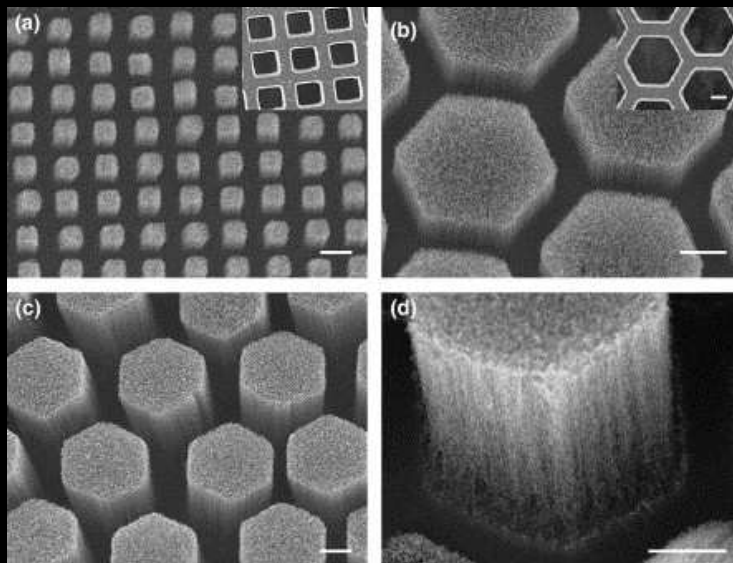
Dewetting

DEPÓSITO POR PULSOS LASER (PLD)

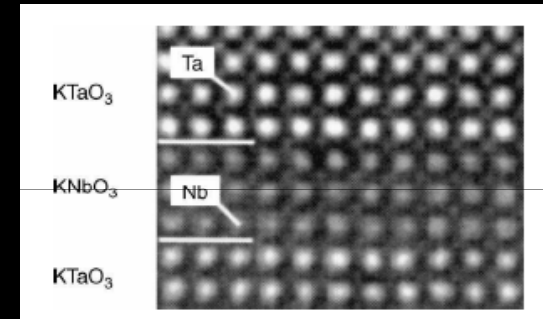




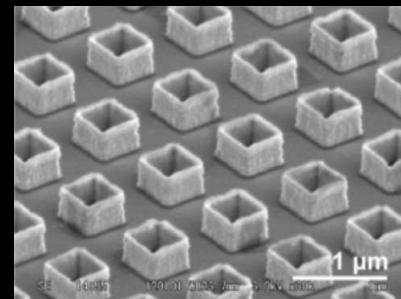
Epitaxias



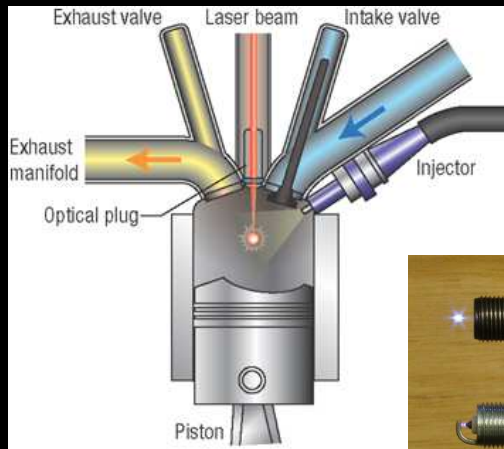
μ -estructuras



Superredes



OTRAS APLICACIONES EN DESARROLLO



Ignición inducida por láser en motor de explosión

Armamento láser



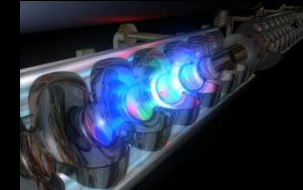
Rayos – lluvia inducidos por láser



EXTREME LIGHT INFRASTRUCTURE (ELI-EU) – EUROPEAN XFEL



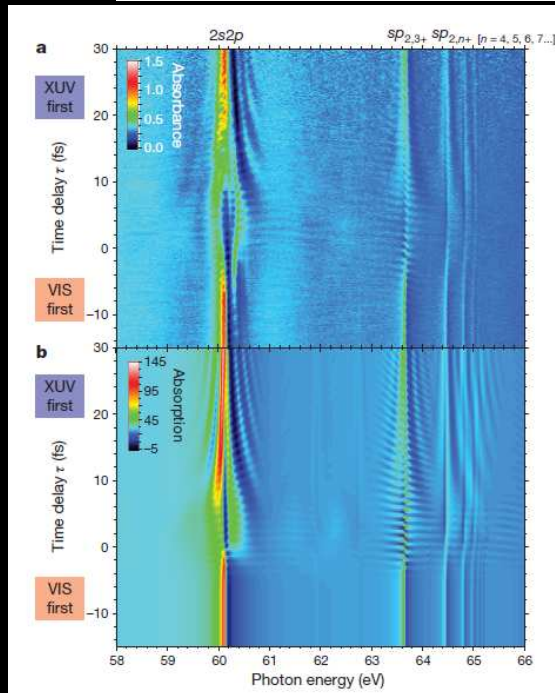
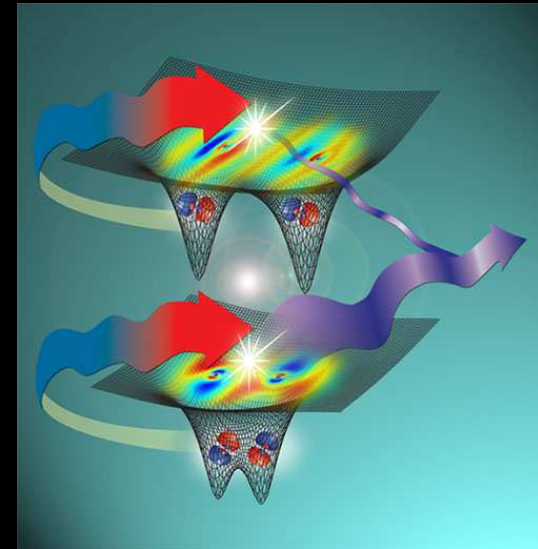
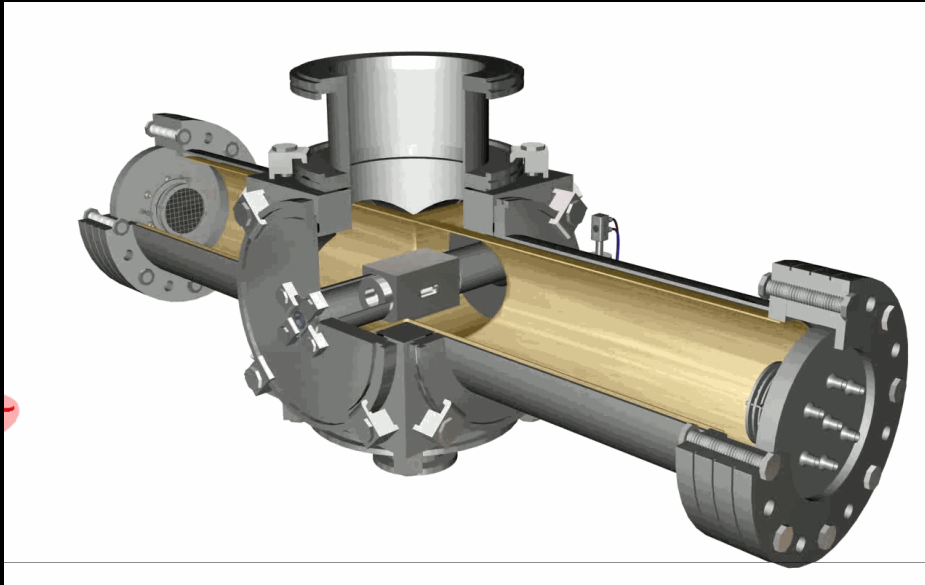
- Attosecond laser, fast dynamics & ultrahigh intensity – Szeged (Hungary)
- PW femtosecond laser, nuclear physics – Bucharest (Romania)
- Compact laser plasma accelerators – Prague (Czech Republic)



- XFEL: Láser de rayos X
- 3.4 km longitud
- Imágenes atómicas 3D de virus, moléculas, nanomateriales, etc



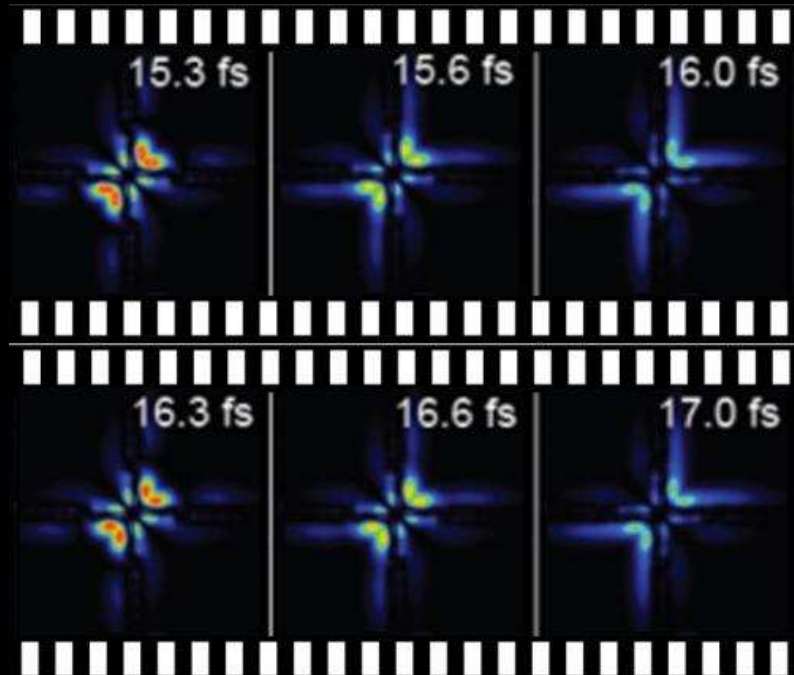
LÁSERES DE PULSOS ULTRACORTOS



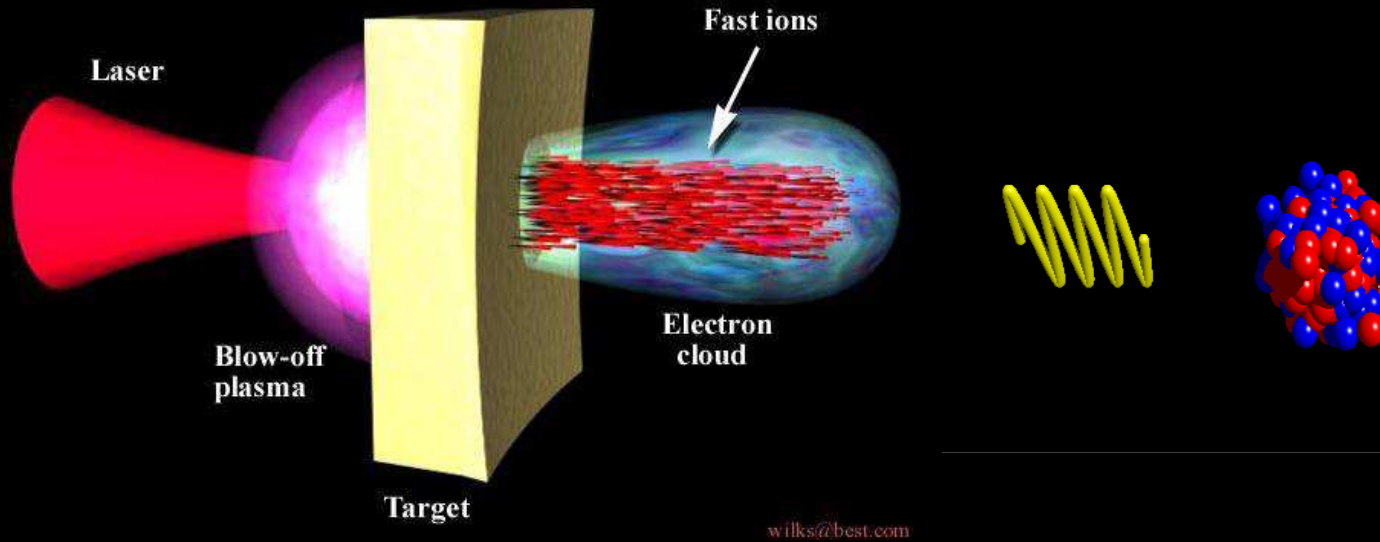
- Pulso attosegundo (10^{-18} s)

- Espectroscopias ultra-rápidas

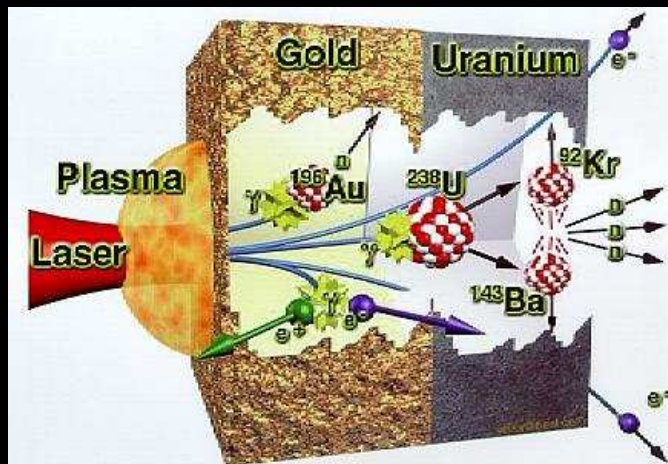
- Evolución temporal de electrones



PULSOS LÁSER ULTRAIINTENSOS

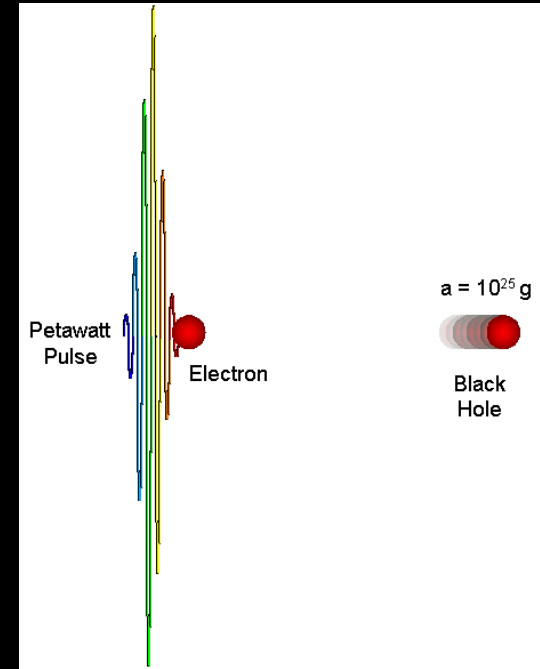
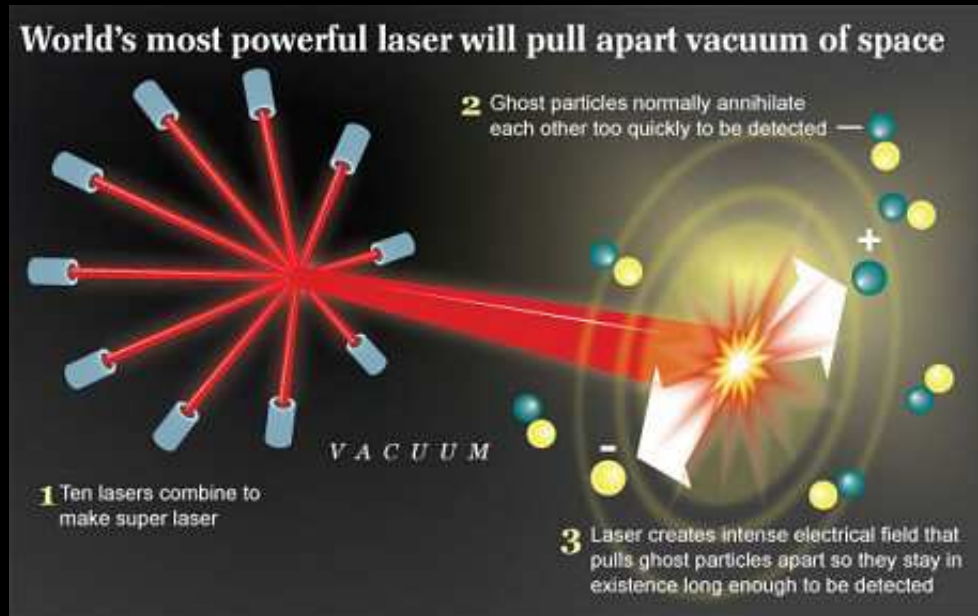


wilks@best.com



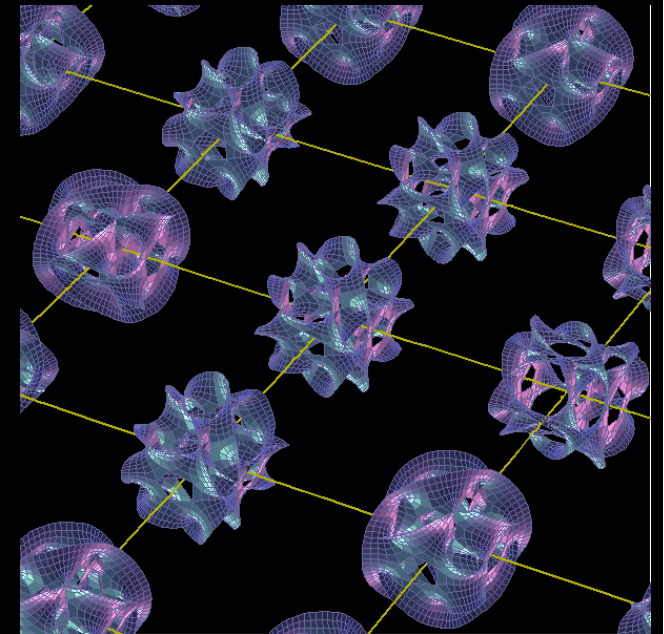
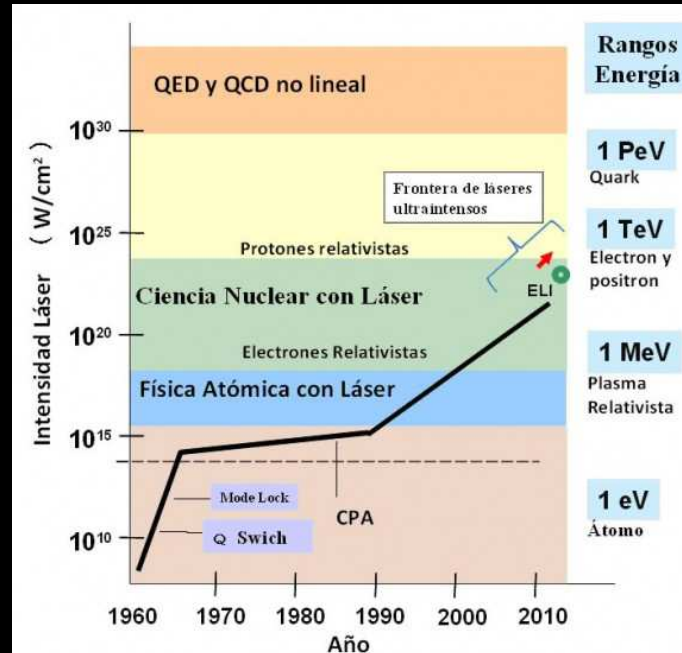
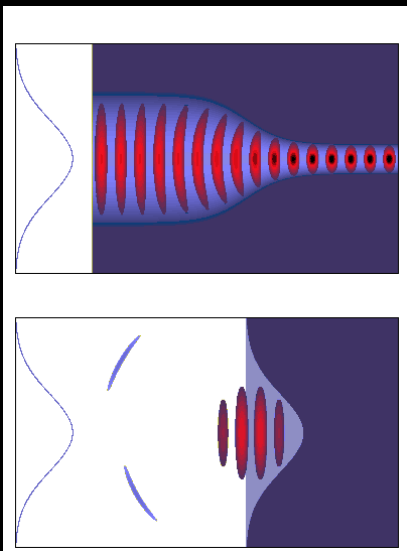
- Intensidad ultra alta:
hasta $\sim 10^{25}$ W/cm²
- Partículas de alta energía ~ 100 GeV
- Flujos elevados de rayos X y γ
- Reacciones nucleares: transmutación, fofofisión...
- Medicina nuclear e imagen, aceleradores de partículas...

Vacío cuántico



Intensidad $> 10^{25} \text{ W/cm}^2$

Agujeros negros, dimensiones extra



FUSIÓN NUCLEAR INDUCIDA POR LÁSER

